

77
25



UNIVERSIDAD NACIONAL AUTONOMA DE MEXICO

FACULTAD DE INGENIERIA

DISEÑO Y CONSTRUCCION DE UN ELECTROCARDIOGRAFO

TESIS PROFESIONAL

QUE PARA OBTENER EL TITULO DE:

INGENIERO MECANICO ELECTRICISTA

P R E S E N T A N :

LINA AVECITA HERNANDEZ GARCIA

OCTAVIO VARGAS CUADROS

DIR.

EDUARDO RAMIREZ S.

MEXICO, D. F.,

1990

TESIS CON
FALLA DE ORIGEN



UNAM – Dirección General de Bibliotecas Tesis Digitales Restricciones de uso

DERECHOS RESERVADOS © PROHIBIDA SU REPRODUCCIÓN TOTAL O PARCIAL

Todo el material contenido en esta tesis está protegido por la Ley Federal del Derecho de Autor (LFDA) de los Estados Unidos Mexicanos (México).

El uso de imágenes, fragmentos de videos, y demás material que sea objeto de protección de los derechos de autor, será exclusivamente para fines educativos e informativos y deberá citar la fuente donde la obtuvo mencionando el autor o autores. Cualquier uso distinto como el lucro, reproducción, edición o modificación, será perseguido y sancionado por el respectivo titular de los Derechos de Autor.

TESIS CON FALLA DE ORIGEN

I N D I C E

Objetivos

Introducción

Capítulo I. El desarrollo de la electrocardiografía

- I.1 Primeros instrumentos usados para medir fuerzas electromotrices del corazón
- I.2 Los primeros electrocardiogramas
- I.3 Desarrollo del electrómetro capilar
- I.4 Primera gráfica asociada a la actividad eléctrica del corazón humano
- I.5 Desarrollo del galvanómetro de hilo
- I.6 Desarrollo de los electrocardiógrafos amplificadores
- I.7 Surgimiento de los electrocardiógrafos de escritura directa

Capítulo II. Electrofisiología del Corazón.

- II.1 Anatomía y Fisiología del Sistema de Conducción
- II.2 Electrodos.
- II.3 Trazos Electrocardiográficos
- II.4 Compojos Electrocardiográficos Normales.

Capítulo III. Elementos usados comúnmente en la electrecardiografía

- III.1 El vector cardíaco
- III.2 Vectores del plano frontal
- III.3 Derivaciones unipolares
- III.4 Derivaciones aumentadas de las extremidades
- III.5 Relación entre las derivaciones unipolares aumentadas y no aumentadas
- III.6 Relación entre las derivaciones unipolares y las derivaciones bipolares estándar
- III.7 Derivaciones precordiales
- III.8 Sistema de derivaciones ortogonal corregido

Capítulo IV Funcionamiento y Descripción del ECG

Conclusiones.

Apéndice A.

- A.1 Diagrama de Bloques.
- A.2 Diagrama Eléctrico del Proyecto.
- A.3 Hojas Técnicas de los Circuitos Integrados.
- A.4 Resumen de Normas.

Bibliografía

OBJETIVOS:

El propósito de desarrollar como proyecto de tesis un electrocardiógrafo obedece a varios factores: Nuestro proyecto debe servir para empezar a crear dentro del país una estructura en los diseños electrónicos en el Área biomédica; con ello se espera ahorrar divisas ya que generalmente todo el equipo médico es de importación; no se trata de un trabajo aislado ya que en el C.E.D.A.T. (Centro de Desarrollo y Aplicaciones Tecnológicas) fué aquí donde lo realizamos ya se están elaborando diversos proyectos en esta rama, y precisamente las posibilidades de realizar físicamente este circuito nos alentaron mucho a decidirnos por él mismo. Debemos mencionar también que ya que en el plan de estudios de la facultad de Ingeniería de la U.N.A.M. en el Área de electrónica no se imparte ninguna materia relativa a medicina lo cual significó un reto para nosotros. Dentro de los objetivos de nuestro Electrocardiógrafo está que cumplan las normas internacionales que rigen los Electrocardiogramas tratando de hacer el circuito barato y con refacciones fáciles de conseguir en el país.

INTRODUCCION

El desarrollo del galvanómetro de hilo en 1901 por el físico holandés Willem Einthoven, constituye uno de los logros más sobresalientes de la medicina. Tal y como ha sucedido con otros descubrimientos científicos, al principio no se le dió la importancia que merecía. Por casi una década, el uso de su electrocardiógrafo estuvo limitado a unas cuantas clínicas de Europa. Sin embargo, en 1910, y gracias a sus enormes esfuerzos, los médicos se dieron cuenta de la gran importancia del instrumento no sólo en el laboratorio sino también en la vida práctica.

Las investigaciones en electrocardiografía pronto surgieron por toda Europa. Los conocimientos sobre la materia crecieron de la misma forma que el interés e investigaciones clínicas. Hoy en día, el electrocardiograma representa un medio esencial en la evaluación clínica del paciente cardíaco, un hecho que hasta hace cincuenta años no era una realidad. La aceptación universal de la electrecardiografía en nuestros días, es un tributo a la gran cantidad de científicos que contribuyeron a su desarrollo. No únicamente intervinieron doctores, sino también matemáticos, físicos, químicos, fisiólogos e ingenieros, que de una u otra forma, ya sea individualmente o en conjunto, influyeron en el campo de la electrocardiographia.

Quizá no ha habido ninguna otra rama de la medicina tan extensamente estudiada como la electrocardiografía. Han sido innumerables los artículos al respecto variando desde discusiones meramente teóricas hasta los estudios más sofisticados sobre las gráficas de pacientes afectados por diversas enfermedades. En ocasiones, el avance en la electrecardiografía ha sido frenado involuntariamente porque cada investigador propone una nueva teoría, nomenclatura o suposiciones que posteriormente son cuestionados por sus colegas contemporáneos. Inclusive problemas tan sencillos como la nomenclatura, han causado dificultades ya que cada quién prefiere utilizar su propia simbología.

Otro tipo de problemas han surgido al tratar de representar a la electrocardiografía clínica por medio de medios físicos o matemáticos muy precisos. La relevancia de estos estudios no puede ponerse en duda, pero han causado confusión entre personas fuera del medio tales como médicos y enfermeras.

En un principio, la electrocardiografía era totalmente empírica. Con el tiempo, y con la profundización de las

investigaciones algunos problemas fueron resueltos, de manera que el empirismo ha conducido progresivamente a un acercamiento electrofisiológico más preciso. Sin embargo, el empirismo está presente aún en nuestros días; sólo ha cambiado su complejidad.

Hay algunas suposiciones en el campo de la investigación electrocardiográfica que se consideran erróneamente libres de prácticas empíricas y basadas únicamente en modelos completamente lógicos.

El uso de electrocardiógrafos portátiles ha contribuido en gran medida al estudio de irregularidades cardíacas; así también, ha hecho posible registrar los electrocardiogramas de pacientes en salas de operación, camas de hospital, clínicas y hogares.

El campo de la electrocardiografía aún es muy amplio; actualmente se están tratando de hacer diagnósticos por medio de computadoras; asimismo, se intenta reducir el número de derivaciones y se contempla la posibilidad de poder hacer análisis a grandes distancias mediante instrumentos precisos y confiables.

EL DESARROLLO DE LA ELECTROCARDIOGRAFIA

La observación de los fenómenos eléctricos se inició desde el tiempo de los griegos alrededor del año 400 A.C. Sin embargo no se realizó ningún intento de justificar la presencia de distintas fuerzas eléctricas.

Los efectos electromotrices observados en algunos animales eran considerados como meras curiosidades. No fue sino hasta 1787 cuando Aloysio Luigi Galvani (1737-1798) demostró que en las extremidades inferiores de las ranas estaba presente un fenómeno eléctrico. En aquella época, Galvani era profesor de anatomía en la universidad de Bologna. Un día, en su laboratorio, tenía una rana viva cuyas extremidades inferiores se hallaban parcialmente disecadas haciendo contacto directo con un instrumento metálico dejado accidentalmente por un ayudante. Notó que cuando un aparato electrostático pasaba cerca, los músculos de las piernas de la rana se contraían. Esta observación condujo a Galvani a explorar las características de los tejidos vivos. Sus experimentos lo llevaron a describir un método para la estimulación eléctrica de tejidos vivos que consistía en poner en contacto dos cilindros metálicos (de distinto material) a un músculo o nervio. Galvani creyó que

la contracción derivada de la estimulación era debido a la electricidad generada entre tejidos.

No obstante Alessandro Volta (1745-1827), profesor de física de la universidad de Favia, puso en duda las conclusiones de Galvani. Volta negó la existencia de electricidad producida por animales, creyendo que ésta se debía a la estimulación eléctrica aplicada a los dos cilindros. Aquí se originó una de las más famosas controversias científicas. Como consecuencia, Volta construyó lo que ahora se conoce como pila volálica, fundamento de la electroquímica. Irónicamente, fué en 1820 cuando Ørsted, trabajando con esta pila, descubrió el electromagnetismo, base para el desarrollo del galvanómetro que posteriormente hizo posible la medición de electricidad en animales.

Galvani, para rebatir la teoría de Volta, demostró que el músculo se contraía aún sin el uso de instrumentos metálicos. Prrobó que si un nervio era obligado a tocar dos puntos de un tejido, uno de ellos sano y otro con una lesión, el nervio se contraería.

Esto no fue sólo la primera demostración de la existencia de electricidad en los tejidos vivos, sino también fué la primera descripción de la corriente producida por una lesión. El experimento apareció publicado como anónimo en 1794, pero fué atribuido a Giovanni Aldini.

A pesar de que Galvani probó la existencia de fenómenos electromotrices, no fué sino hasta 1843 cuando Emil DuBois-Reymond (1818-1896) midió y registró la magnitud del potencial eléctrico de los tejidos vivos mediante un galvanómetro propio.

También encontró que si un nervio del músculo afectado era estimulado repetidas veces, la diferencia de potencial entre la parte sana y la dañada disminuía notablemente. Esta disminución de potencial la denominó como variación negativa.

Kochlik y Müller, demostraron en 1856 que la variación negativa estaba presente en el latido del corazón; en la década de 1870 quedó bien establecida la teoría de los fenómenos electromotrices del músculo cardíaco. Por consiguiente el conocimiento de estos fenómenos dependió del desarrollo de instrumentos adecuados para registrar los potenciales eléctricos generados por el corazón.

PRIMEROS INSTRUMENTOS USADOS PARA MEDIR FUERZAS ELECTROMOTRICES DEL CORAZON

El primer galvanómetro fué el utilizado en el experimento de la rana, pero tan solo servía para sentir la presencia de la electricidad más que para medirla. Los primeros galvanómetros eran de bobinas móviles y por lo tanto eran poco sensibles.

En 1849 DuPois-Reymond intentó construir un instrumento que pudiera ser capaz de medir corrientes bioeléctricas con mayor sensitividad que los galvanómetros de aquella época. Debido a que éste instrumento muestreaba la magnitud de la corriente eléctrica por pequeños intervalos de tiempo, fue llamado redtomo. Posteriormente fue modificado y mejorado por notables fisiólogos y físicos de la talla de Lenz, quien en 1854 desarrolló un método para trazar la variación de la corriente eléctrica con respecto al tiempo. Mas tarde en 1868, Julius Bernstein (1837-1917) creó el redtomo diferencial, con el cual se obtuvieron los primeros electrocardiogramas.

LOS PRIMEROS ELECTROCARDIOGRAMAS

En 1877 Marchand registró las variaciones del potencial eléctrico del corazón de una rana por medio del redtomo diferencial. En 1878 Engelmann fué el primero en representar gráficamente las variaciones del potencial del corazón del ser humano. Poco tiempo después Burdon-Sanderson publicaron varias curvas que muestran gran semejanza a los electrocardiogramas tomados hoy en día. En éstas curvas se dieron a conocer los primeros detalles de la onda de repolarización conocida como onda T.

DESARROLLO DEL ELECTROMETRO CAPILAR

Aún cuando el redtomo diferencial era eficiente, carecía de sensitividad. Las curvas finales eran el resultado de un laborioso proceso de reconstrucción de varias lecturas. Un instrumento más eficaz para medir las corrientes bioeléctricas fué el desarrollado por Gabriel Lippmann

(1845-1921) en 1872. Este instrumento llamado electrómetro capilar tenía gran sensibilidad, y por lo tanto se hizo muy popular entre los electrofisiólogos.

En 1876 Marcy dedujo un método por medio del cual las variaciones registradas por el electrómetro capilar podían ser fotografiadas. Esto le dió gran versatilidad ya que se podían tener registros temporales o permanentes. Sin embargo, y a pesar de la relativa gran sensibilidad que ofrecía el electrómetro capilar, su tiempo de respuesta era demasiado lento por lo que Willem Einthoven decidió investigar para obtener un galvanómetro más satisfactorio. A pesar de sus inconvenientes, el electrómetro capilar sirvió para descubrir innumerables principios de la actividad eléctrica del corazón.

PRIMERA GRAFICA ASOCIADA A LA ACTIVIDAD ELECTRICA DEL CORAZON HUMANO

Augustus Desiré Waller, famoso fisiólogo de Londres descubrió que la actividad eléctrica del corazón humano podía detectarse por medio del electrómetro capilar sin tener que abrir la cavidad torácica y exponer el corazón. Waller fue el primero en detectar la actividad eléctrica humana en 1887 y bautizó la llamó electrograma. Posteriormente Einthoven introdujo el término electrocardiograma.

DESARROLLO DEL GALVANOMETRO DE HILO

Después de trabajar varios años con el electrómetro capilar, y sin obtener resultados satisfactorios, Willem Einthoven de la universidad de Leiden en Holanda, buscó un método más eficiente para el registro de la actividad eléctrica del corazón.

A poco tiempo del descubrimiento del electromagnetismo por Oersted en 1820, los físicos empezaron a construir galvanómetros para medir corrientes eléctricas. Las variaciones en la corriente que pasaba a través de la bobina ocasionaban que ésta se moviera; los movimientos se registraban por medio de espejos o de otros dispositivos conectados a la bobina. El más popular de estos galvanómetros fué el propuesto por Jacques Arsène d'Arsonval en 1859.

Einthoven experimentó por un tiempo con el galvanómetro de d'Arsonval pero lo encontró poco sensible para sus propósitos. Por lo tanto, alrededor de 1900, comenzó a diseñar y a construir su propio galvanómetro. El fruto de sus esfuerzos fue un instrumento casi ideal muy sensible al que le llamó galvanómetro de hilo. Este nuevo instrumento hizo de la electrocardiografía una ciencia práctica y literalmente creó una nueva rama de la medicina, e inclusive produjo una nueva industria.

La introducción galvanómetro de hilo por Einthoven fue en 1903, y constituyó un logro muy significativo. Estaba formado por un alambre de platino extremadamente delgado o por una fibra de cuarzo recubierta de oro de 5 micras de ancho aproximadamente, suspendida en el entrechierro de un electromán magnetizado muy intenso. La corriente circulante por el hilo, causaba un ligero movimiento, perpendicular a la dirección del campo magnético. La magnitud de este movimiento era muy débil, pero podía multiplicarse por un factor de amplificación (de varios cientos) por medio de un sistema óptico de proyección basado en una película fotográfica o papel rotatorio. La ventaja que ofrecía este sistema era la debida a la poca masa del hilo y que por lo tanto podía registrar variaciones en un rango de frecuencias lo suficientemente ancho para dar una respuesta confiable. La sensibilidad del galvanómetro de hilo se ajustaba a través de la tensión mecánica a la que se encontraba sujeta el hilo.

MODIFICACIONES AL ELECTROCARDIOGRAFO DE HILO DE EINTHOVEN

Bajo la supervisión de científicos como Einthoven, Duddell, Williams, Lewis y Hindle, los electrocardiógrafos comerciales sufrieron una serie de mejoras entre los años 1911 a 1935. La más importante de ellas, fue la reducción progresiva del tamaño del electromagneto.

Antes del año de 1920, los electrocardiógrafos no eran portátiles. Si era necesario tomar un electrocardiograma desde la casa de alguno de los pacientes, se debería tender una línea telefónica de ahí hasta el hospital. Sin embargo, a medida que se redujo el tamaño y el peso del electrocardiógrafo de hilo, fue posible el diseño de instrumentos portátiles. Gracias a Cassidy y Hall de Inglaterra, se pudo construir el primer electrocardiógrafo portátil por la

Cambridge Scientific Instrument Co. de Londres en 1929. El peso aproximado de este instrumento fué de 80 libras y montado sobre un pequeño carrito, fué de gran utilidad, tanto en consultorios como en grandes hospitales.

DESARROLLO DE LOS ELECTROCARDIOGRAFOS AMPLIFICADORES

Debido a que las señales cardíacas son muy pequeñas, el galvanómetro de hilo debía ser extremadamente sensible. En 1920 se puso a disposición del mercado por primera vez un dispositivo que era capaz de amplificar varias veces las señales eléctricas. Este fué el tubo de vacío o bulbo. Así pues, fué posible desechar el galvanómetro de hilo de Einthoven y se usó en su lugar el de d'Arsonval que era menos delicado. Como los instrumentos de este tipo podían usarse para trabajos un poco más rudos, fueron rápidamente empleados en la fabricación de electrocardiógrafos portátiles. Uno de los primeros amplificadores comerciales fué el desarrollado por Siemens y Halske de Alemania en 1934.

A medida que evolucionó la electrónica, apareció el tubo de rayos catódicos que se incluyó en la electrocardiografía. El osciloscopio mejoró indudablemente las características físicas de las registradoras de antaño, y por su gran versatilidad abrió nuevos campos de investigación en los últimos años, como lo son: la vectorcardiografía espacial, electrocardiografía de alta frecuencia y la telemetría.

SURGIMIENTO DE LOS ELECTROCARDIOGRAFOS DE ESCRITURA DIRECTA

La introducción de los electrocardiógrafos amplificadores provocó el surgimiento de los instrumentos de escritura directa o simultánea a base de tinta. El primero de ellos fué diseñado por Duchosal y Luthi en Suiza en 1932. Pero durante mucho tiempo fueron duramente criticados por considerar que distorsionaban las señales. A pesar de esto, y desde la Segunda Guerra Mundial, éste tipo de electrocardiografos ganó gran popularidad y casi todos los fabricantes incluyen modelos con escritura directa aún cuando de

cierta forma comprometen las características físicas para hacerlos portátiles.

EL VECTOR CARDIACO

El vector cardíaco es la designación de todas las fuerzas electrométricas del ciclo cardíaco. Tiene magnitud, dirección y polaridad conocidas. Se debe tener presente que en cualquier instante determinado durante la despolarización y la repolarización, los potenciales eléctricos se están propagando en muchas direcciones en el espacio. Más del 80% de estos potenciales quedan cancelados por fuerzas opuestas y solamente se registra el resultado neto. El vector instantáneo representa la fuerza eléctrica neta en un instante determinado. Un vector medio de cualquier porción dada del ciclo cardíaco (por ejemplo, QRS) representa la magnitud, dirección, polaridad de ese período (por ejemplo, el vector medio de QRS).

El símbolo matemático de un vector es una flecha que apunta en la dirección del potencial neto (positivo o negativo); la longitud de la flecha indica la magnitud de la fuerza eléctrica.

Se puede dibujar un vector para la despolarización auricular (P), la despolarización ventricular (QRS) y la repolarización ventricular (T). Cada vector está cambiando constantemente: se inicia en un punto central, se distribuye através del corazón y luego regresa al punto de partida. Por lo tanto, forma una figura tridimensional, es decir, el vectorcardiograma espacial o VCG. Existen en la actualidad osciloscopios de rayos catódicos que pueden registrar el vectorcardiograma en 3 planos -frontal, horizontal y sagital- y registrar asimismo las tres derivaciones escalares ortogonales X, Y y Z (de las cuales se hablará posteriormente).

VECTORES DEL PLANO FRONTAL

El resultado de los potenciales eléctricos de todo el ciclo cardíaco, según se refleja en el plano frontal del cuerpo, es el vector del plano frontal. Para obtener las derivaciones de miembros, se colocan electrodos en los brazos derecho e izquierdo, y en la pierna izquierda, formando un triángulo (Triángulo de Einthoven).

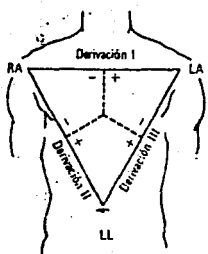


Fig. 3. Derivaciones del plano frontal. Si se trata una línea perpendicular dentro del centro de cada una de derivación, la intersección de las líneas teóricamente representaría el centro de la actividad eléctrica.

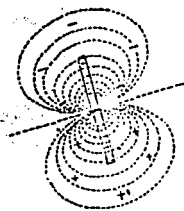


Fig. 4. Hipótesis dipolar. Una mitad del dipolo es positiva y la otra mitad es negativa. Una mitad del campo eléctrico es positiva y la otra mitad es negativa. El mayor potencial eléctrico, sea positivo o negativo, se encuentra a lo largo de una línea paralela al dipolo. El potencial eléctrico a lo largo de una línea perpendicular al dipolo en su centro eléctrico será prácticamente nulo.

Einthoven ideó ésta disposición de electrodos asumiendo lo siguiente:

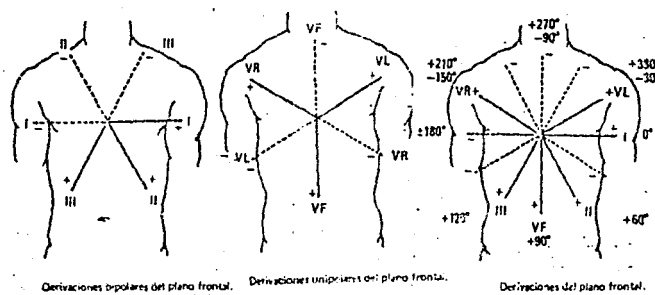
1. La hipótesis dipolar. Se cree que cada vector instantáneo es el resultado de un potencial eléctrico que actúa como dipolo. Esto quiere decir que la mitad del vector es positivo y la otra mitad es negativa. El potencial eléctrico a lo largo de una línea perpendicular al dipolo, en su centro eléctrico será prácticamente nulo.
2. El centro de la actividad eléctrica del corazón se encuentra en el centro anatómico del pecho.
3. Las derivaciones I, II y III, son todas equidistantes del centro de la actividad eléctrica.
4. El torso humano puede considerarse como de forma esférica.
5. Todos los tejidos y líquidos tisulares se pueden considerar como buenos conductores del potencial eléctrico.

Sin embargo, hoy se sabe que las proposiciones (2), (3), (4) y (5) ya mencionadas, no se justifican y aún la hipótesis dipolar todavía es motivo de gran controversia. Si bien para fines de exactitud matemática es necesario corregir éstos errores, una presentación simplificada del concepto de análisis vectorial es lo más conveniente para

lograr claridad en el tema.

Si el triángulo de Einthoven se modifica de manera que las derivaciones se colocan en un punto central, los ejes se verán colocados de manera distinta, pero ésto de ninguna manera afecta la relación matemática entre ellas.

A éste tipo de derivaciones se les conoce con el nombre de derivaciones estándar bipolares (I, II y III). Además existen en el mismo plano frontal las derivaciones unipolares (VR, VL y VF) que superpuestas a las anteriores dan por resultado un sistema de referencia hexaxial que muestra las 6 derivaciones del plano frontal.

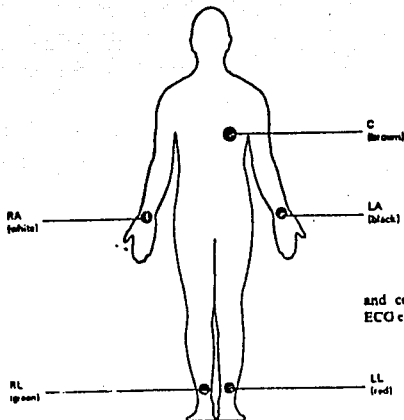


Derivaciones bipolares del plano frontal.

Derivaciones unipolares del plano frontal.

Derivaciones del plano frontal.

Para tener una lectura confiable, se debe hacer buen contacto con la piel, con ayuda de una pasta especial que se frota al paciente. En seguida, se aplican los electrodos de las derivaciones LA (brazo izquierdo), RA (brazo derecho), y LL (pierna izquierda). Haciendo girar el selector del electrocardiógrafo a las posiciones correspondientes, se obtendrán las derivaciones requeridas.
(FIG. 6 - 3 CROMWELL)



Abbreviations
and color codes used for
ECG electrodes.

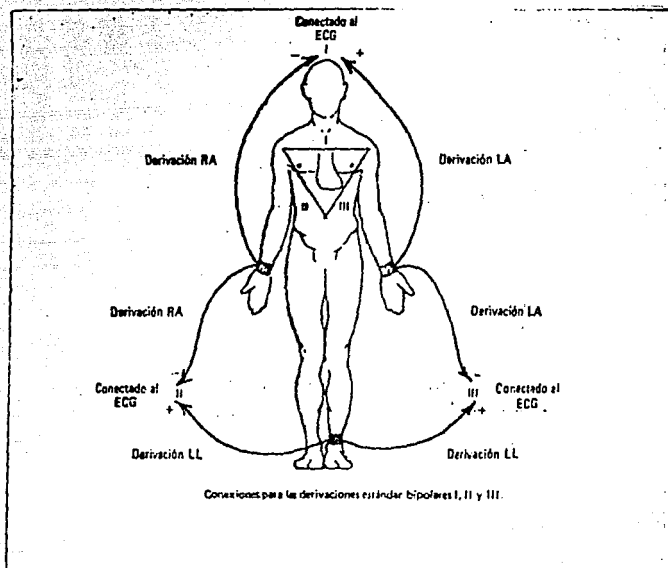
Todos los aparatos electrocardiográficos tienen también un electrodo para la pierna derecha y su derivación relativa. Esta función como tierra y no toma ningún papel en la producción del trazo electrocardiográfico. En zonas donde existe una interferencia eléctrica, puede ser necesario poner un alambre de tierra desde la cama o desde el electrocardiógrafo a una tierra adecuada (tubería de agua o de vapor).

Las derivaciones bipolares representan una diferencia de potencial eléctrico entre dos sitios seleccionados.

DERIVACION I = Diferencia de potencial entre el brazo izquierdo (positivo) y el brazo derecho (negativo) LA -RA .

DERIVACION II - Diferencia de potencial entre la pierna izquierda (positivo) y el trazo derecho (negativo) LL - RA.

DERIVACION III - Diferencia de potencial entre la pierna izquierda (positivo) y el trazo izquierdo (negativo) LL - LA.



Conexiones para las derivaciones estándar bipolares I, II y III.

La relación entre las tres derivaciones se expresa algebraicamente por la ecuación de Einthoven: Derivación II = Derivación I + Derivación III. Esto se basa en la ley

de Kirchhoff que dice que la suma algebraica de todas las diferencias de potencial en un circuito cerrado son igual a cero. Si Einthoven hubiera invertido la polaridad de la derivación II (es decir, RA - LL), los tres ejes de derivación bipolares darían por resultado un circuito cerrado, y entonces la suma de las derivaciones I + II + III equivaldría a cero. Sin embargo, puesto que Einthoven hizo esa alteración en la polaridad del eje de la derivación II, la ecuación queda así: I - II + III = 0.

El potencial eléctrico, según se registra desde cualquier extremidad, será el mismo independientemente del sitio de la extremidad en que se coloque el electrodo. Generalmente se colocan los electrodos inmediatamente por encima de los muñecos y tobillos. Si se ha amputado una extremidad, el electrodo puede colocarse en el muñón. En pacientes que tienen temblor incontrolable de las extremidades, se puede obtener un trazo mucho más satisfactorio aplicando los electrodos a las porciones superiores de las extremidades.

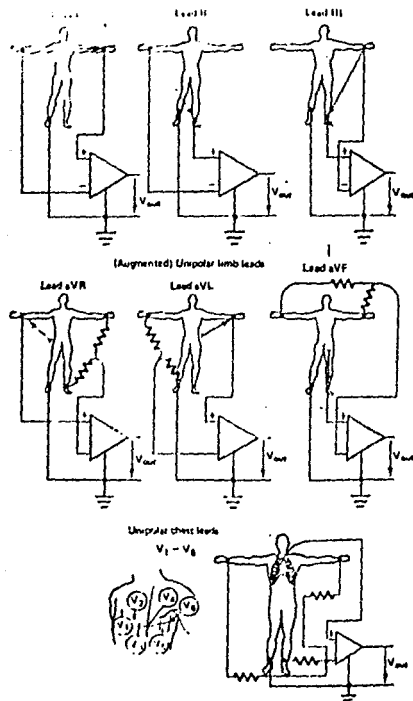
DERIVACIONES UNIPOLARES

Las derivaciones unipolares (un electrodo es el positivo y los restantes constituyen una tierra común o electrodo negativo), fueron introducidas en la electrocardiografía clínica por Wilson en 1932. Las derivaciones unipolares del plano frontal (VR, VL y VF) guardan una relación matemática definida con las derivaciones bipolares estándar (I, II y III). Las derivaciones precordiales (V) registran potenciales en el plano horizontal sin ser influídas por los potenciales verdaderos de un electrodo "indiferente" que se emplea al registrar las derivaciones bipolares torácicas.

Todos los aparatos electrocardiográficos modernos están construidos de tal manera que las derivaciones de las extremidades aumentadas puedan registrarse con la misma disposición de electrodos que se usan para las derivaciones estándar simplemente girando el selector a la posición correspondiente a aVR, aVL ó aVF. Las derivaciones unipolares del tórax se toman aplicando la derivación torácica y su electrodo a cualquier posición deseada sobre el pecho y girando el selector a la posición V. Se pueden tomar múltiples derivaciones torácicas cambiando el electrodo a 9 posiciones distintas.

DERIVACIONES UNIPOLARES DE LAS EXTREMIDADES

Dentro de la electrocardiografía práctica se usan 3 derivaciones en el plano frontal adicionales a las derivaciones bipolares. Estas derivaciones se obtienen através de más de 3 electrodos. Comúnmente se les conoce con el nombre de derivaciones unipolares porque registran el potencial de un electrodo con respecto a un punto de referencia que es el punto promedio de las demás señales correspondientes al resto de los electrodos. Tal punto es el denominado como la terminal central de Wilson.



Para su obtención es necesario conectar todos los electrodos presentes a un nodo común por medio de resistencias del mismo valor. El punto eléctrico en el nodo es el valor promedio. Así pues, el valor medido entre la terminal central de Wilson (nodo común a todos los electrodos) y cualquiera de los electrodos (LA, RA & LL) da por resultado las derivaciones VL, VR y VF, respectivamente.

Estas derivaciones han sido sustituidas por las derivaciones aumentadas de las extremidades AVR, aVL y aVF, no se les registra corrientemente. Usando el electrodo indiferente (RA + LA + LL) como una terminal y conectando otro electrodo en el brazo derecho, se puede tomar una derivación bipolar. Esta representa la diferencia entre el potencial del lado derecho y el potencial cero de la terminal central (RA = 0 = RA). Por lo tanto, el potencial "verdadero" del brazo derecho es el que se registra. Aún cuando técnicamente es una derivación bipolar, representa una derivación unipolar puesto que uno de los potenciales es cero.

DERIVACIONES AUMENTADAS DE LAS EXTREMIDADES

(aVR, aVL y aVF)

Las derivaciones unipolares LA, RA y LL van reducidas su amplitud debido a que se obtienen de juegos de resistencias idénticas. Por lo tanto, con un ligero cambio en las resistencias, se puede aumentar la amplitud de las deflexiones de VR, VL y VF en aproximadamente un 50%. Estas derivaciones denominadas derivaciones unipolares aumentadas de las extremidades o de las extremidades se designan como aVR, aVL y aVF. Debe hacerse hincapié en que la única diferencia entre las derivaciones VR, VL y VF, , las derivaciones aVR, aVL y aVF es la diferencia de amplitudes . En la práctica electrocardiográfica sistemática, las derivaciones aumentadas han sustituido a las derivaciones de las extremidades no aumentadas porque son de más fácil lectura.

De igual manera que en las derivaciones no aumentadas, los cables de los electrodos se conectan a un nodo común (la terminal central). La extremidad bajo prueba es conectado a este punto através de de una resistencia de valor $R/2$, en vez de una de valor R. Con ello se logra un significativo aumento del 50% en su magnitud.

RELACION ENTRE LAS DERIVACIONES UNIPOLARES AUMENTADAS Y NO AUMENTADAS

Como se vio anteriormente, los valores de las derivaciones aumentadas (ΔVR , ΔVL y ΔVF) tienen una magnitud 50% mayor a las derivaciones no aumentadas (VR , VL y VF). La demostración matemática es la siguiente:

Considérense los circuitos equivalentes de ΔVR y VR .

Para ΔVR :

$$0 = -R_{II} + V_a + V_b - R_{II}$$

despejando II se obtiene:

$$II = V_b - V_a / 2R$$

además

$$V_{WW} = R_{II} + V_a$$

$$= (V_b - V_a) R / 2R + V_a$$

Como no circula corriente por la rama de a , el polo positivo se encontraría a un voltaje igual a V_a .

Entonces,

$$\Delta VR = V_a - V_{WW}$$

$$= V_a - (V_b + V_a) / 2$$

$$= (2V_a - V_b - V_a) / 2$$

Ahora, para VR , simplificando el circuito se obtiene:

En el punto de salida V_{WW} ,

$$V_{WW} = (((V_a)R / 2) / (3R / 2)) + ((V_{WW})R) / (3R / 2)$$

$$= (2 / 3) ((V_a / 2) + V_m)$$

Sustituyendo V_m

$$V_m = (V_b + V_c) / 2$$

$$V_m = (1 / 3) (V_a + V_b + V_c)$$

Como $V_R = V_a - V_m$

$$V_R = V_a - (1 / 3) (V_a + V_b + V_c)$$

$$= (2V_a - V_b - V_c) / 3$$

Por lo tanto,

$$V_R = (2V_a - V_b - V_c) / 3$$

Además

$$aV_R = (2V_a - V_b - V_c) / 2$$

Igualando ambas expresiones

$$aV_R = V_R$$

$$(2V_a - V_b - V_c) / 3 = K (2V_a - V_b - V_c) / 2$$

En donde es factor K , debe ser $3 / 2$, para que se cumpla la igualdad.

Por eso:

$$aV_R = (3 / 2) V_R$$

RELACION ENTRE LAS DERIVACIONES UNIPOLARES Y LAS DERIVACIONES BIPOLARES ESTANDAR

Las derivaciones I, II, III, aVR, aVL y aVF representan vectores del plano frontal. De acuerdo con las definiciones anteriormente dadas, las derivaciones bipolares I, II y III pueden representarse también por medio de las derivaciones unipolares de las extremidades (VR, VL y VF). De tal modo que:

$$I = VL - VR \quad (LA - RA)$$

$$II = VF - VR \quad (LL - RA)$$

$$III = VF - VL \quad (LL - LA)$$

Puesto que las derivaciones aumentadas de las extremidades equivalen a $2/3$ de las derivaciones de las no aumentadas, las ecuaciones deben cambiarse a:

$$I = 2/3 \quad (aVL - aVR)$$

$$II = 2/3 \quad (aVF - aVR)$$

$$III = 2/3 \quad (aVF - aVL)$$

La relación de las derivaciones de las extremidades a las derivaciones estándar se obtiene de la fórmula propuesta por Einthoven:

$$1. \quad VR + VL + VF = 0$$

$$2. \quad VR = - VL - VF$$

3. Agregando 2VR a la ecuación (2),

$$3VR = - VL - VF + 2VR$$

$$4. \quad VR = (- VL - VF + 2VR) / 3$$

$$5. \quad VR = (- VL + VR - VF + VR) / 3$$

$$6. VR = -((VL - VR) + (VF - VR)) / 3$$

$$7. VR = - (I + II) / 3$$

De la misma forma, se pueden deducir las relaciones de las derivaciones de las extremidades a las derivaciones estándar. Las derivaciones no aumentadas se multiplican por 3 / 2 para dar las otras derivaciones aumentadas.

$$VR = - (I + II) / 3$$

$$aVR = - (I + II) / 3 \cdot (3 / 2) = - (I + II) / 2$$

$$VL = (I - III) / 3$$

$$aVL = ((I - III) / 3) \cdot (3 / 2) = (I - III) / 2$$

$$VF = (II + III) / 3$$

$$aVF = ((II + III) / 3) \cdot (3 / 2) = (II + III) / 2$$

Las derivaciones bipolares y unipolares no tienen la misma magnitud. Una derivación unipolar no aumentada tiene el 50% del total de la magnitud de una derivación bipolar. Una derivación unipolar aumentada tiene el 97% (por ejemplo, $(3 / 2) \times 50\%$) de una derivación bipolar. Esto demuestra la gran ventaja que ofrece el término derivación unipolar aumentada con respecto a las no aumentadas.

DERIVACIONES PRECORDIALES

Las derivaciones bipolares estándar de Einthoven (I, II y III) mas las derivaciones aumentadas de las extremidades (aVR, aVL y aVF) se unen para formar seis líneas de referencia que cruzan el mismo punto, variando un ángulo de treinta grados entre cada una de ellas, sobre un mismo plano en el tórax del paciente. Este plano es conocido con el nombre de plano frontal.

Un importante sistema de derivaciones se ha establecido arbitrariamente al conectar las derivaciones de las extremidades (RL, LA y LL) a un mismo punto por medio de resistencias de 5000 ohms. La referencia así formada es conocida como la terminal central de Wilson. Si con respecto a este punto se toman lecturas con un electrodo explorador (positivo), situado en seis posiciones distintas bien determinadas, se obtienen las derivaciones precordiales.

La terminal central de Wilson fué propuesta de manera que éste punto fuera indiferente a la actividad eléctrica del corazón. Esto significa que cualquier diferencia de potencial entre la terminal central y el electrodo explorador se debía únicamente a la actividad eléctrica detectada por el electrodo explorador (o unioral).

En todas las derivaciones precordiales, el electrodo colocado sobre el pecho se considera positivo. Este electrodo es una copa de succión que se pasa a otra posición sobre el pecho para cada nueva derivación precordial. Cada derivación va numerada progresivamente de derecha a izquierda del paciente (V1, V2,...,V6), cubriendo la imagen anatómica del corazón sobre la pared torácica. Este tipo de derivaciones se proyecta através del nodo AV hacia la espalda del paciente, que constituye el extremo negativo de cada derivación, formando así un plano horizontal.

Las derivaciones V1 y V2 se llaman derivaciones precordiales derechas y se sitúan sobre la parte derecha del corazón, mientras que las V5 y V6 están frente al lado izquierdo del órgano y son llamadas derivaciones precordiales izquierdas.

Las derivaciones V3 y V4 se encuentran localizadas sobre el tabique ventricular, que es la pared común que comparten los ventrículos derecho e izquierdo. En esta zona, el haz de His se divide en sus ramas derecha e izquierda.

En la práctica, se utilizan estas doce derivaciones, es decir, se incluyen las tres derivaciones bipolares de las extremidades de Einthoven, las tres derivaciones aumentadas de las extremidades, (también conocidas como derivaciones de Goldberger) y las seis derivaciones precordiales propuestas por Wilson.

(FIGS.1.5,1.6 SIEMENS,O 6.4 CROMMELL) DÉCIDIR, MEDIR, SIN ESPACIO

SISTEMA DE DERIVACIONES ORTOGONAL CORREGIDO

Mientras que los sistemas de derivaciones antes mencionados fueron definidos "accidentalmente" o através de la práctica, las derivaciones propuestas por Frank y McFee, están basadas en un modelo teórico que describe el comportamiento de la actividad eléctrica del corazón por medio de tres componentes ortogonales entre si en un sistema coordinado estandarizado. Estas derivaciones son llamadas colectivamente como "sistema de derivaciones ortogonal corregido". Los modelos en los cuales está basada ésta teoría, consideran que las superficies eléctricas variantes en el tiempo pueden ser descritas através de un modelo de dipolo eléctrico dependiente de la variable tiempo. En una representación matemática en serie de potencias del potencial eléctrico en la superficie del cuerpo humano, el modelo del dipolo eléctrico corresponde al primer término. El citado modelo, que también es usado para la interpretación cualitativa de las doce derivaciones estándar, desprecia las componentes de orden superior.

Para obtener un resultado con mayor precisión matemática, es necesario modificar las relaciones espaciales de los ejes de las derivaciones electrocardiográficas en el plano frontal para formar así un sistema de derivaciones ortogonal corregido.

Para el sistema de Frank, se aplican al paciente 7 electrodos que se designan con las letras H,F,I,E,C,A y M ubicadas como sigue:

H : en la frente o en el cuello

F : en la pierna izquierda

I,E,C,A y M : se colocan a lo largo del mismo nivel transversal: el cuarto espacio intercostal si el paciente está en posición supina; en el quinto espacio intercostal si el paciente está en posición sedente.

I : línea axilar anterior derecha

E : centro de esternón

A : línea axilar anterior

C : a un Ángulo de 45 grados entre E y A

M : centro de la columna

Por medio de una red resistiva, se pueden hacer las amplitudes de los vectores correspondientes a cada derivación iguales. Este hecho da el nombre de derivaciones ortogonales corregidas. En el modelo corregido por McFee, el corazón se representa como un círculo. Los potenciales en la superficie del cuerpo, lejanos del corazón son detectados por los electrodos del cuello, pie izquierdo, espalda y el lado derecho. En las posiciones cercanas al corazón, se obtiene el valor promedio de los electrodos situados en el pecho, (tres al frente y dos en el costado izquierdo).

En ambos casos, la orientación de los ejes X,Y,Z es la misma y está definida de la siguiente forma: La parte positiva del eje X es del centro de la cavidad torácica (en donde se intersectan los tres ejes, origen) hacia la izquierda con respecto al paciente. La parte positiva del eje Y, es del origen hacia abajo; y para el eje Z, la parte positiva es del origen hacia atrás del paciente.

Existen otras formas de conectar al paciente, es decir, hay otros tipos de derivaciones como las propuestas por Nehb, y que se han extendido hasta cierto grado en países como Alemania; sin embargo, sólo se consideran como suplementos o información adicional de las doce derivaciones convencionales.

(FIG. 1.7 1.8. SIFMENAI)

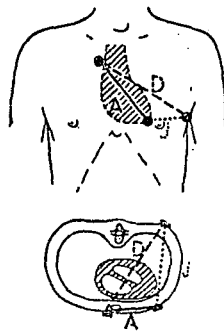


Fig. 1.7
Pick-up points of Nehb's leads. (From Heinecker [22])

ELECTROFISIOLOGIA DEL CORAZON

El electrocardiograma (ECG) es un registro gráfico de los potenciales eléctricos producidos en relación con el latido cardíaco. El corazón es único entre los músculos del cuerpo en vista de que posee la propiedad de la contracción rítmica automática. Los impulsos que preceden a la contracción nacen en el sistema de conducción del corazón. Estos impulsos producen la excitación de las fibras musculares a través del miocardio. La formación del impulso y su conducción producen corrientes eléctricas débiles que se extienden a través de todo el cuerpo. Colocando electrodos en diversas posiciones del cuerpo y conectando dichos electrodos a un aparato electrocardiográfico, se puede registrar un ECG. Las conexiones del aparato son de tal manera, que una deflexión hacia arriba indica un potencial positivo y una deflexión hacia abajo indica un potencial negativo.

Los siguientes factores influyen en la génesis del ECG: (1) inicialización de la formación de impulsos en el marcapaso primario (nodo sinusal), (2) transmisión del impulso a través del sistema de conducción especializado del corazón, (3) activación (despolarización) del miocardio auricular y ventricular, y (4) recuperación (repolarización) de todas las áreas mencionadas. Para tener una idea clara del ECG es necesario tener un conocimiento básico de los potenciales intracelular y de superficie.

Si se coloca un electrodo sobre la superficie de una célula muscular en reposo y se coloca un segundo electrodo indiferente en un sitio distante, no se registrará ningún potencial eléctrico debido a la alta impedancia de la membrana celular. Pero si la membrana celular es penetrada por un electrodo capilar, se registrará un potencial negativo aproximadamente de 90 mv.. Esto se conoce como potencial de reposo de la membrana (PRM). El principal factor que determina el PRM es el gradiente de iones de potasio (K^+) a través de la membrana celular; por otra parte existe un gradiente opuesto para los iones de sodio (Na^+). Existe una concentración relativamente alta extracelular de Na^+ en relación con la concentración de Na^+ intracelular. Este gradiente de Na^+ de polaridad opuesta a la del gradiente de K^+ , no altera en forma apreciable el PRM debido a que la membrana celular es considerablemente menos permeable a los iones de K^+ . Se ha calculado que la membrana celular en estado de reposo es 30 veces más permeable a los iones K^+ que a los iones Na^+ .

En seguida se debe tratar de explicar la fuente de energía dentro de la célula que permite una elevada concentración intracelular de K^+ y el PRM negativo. Aun cuando la membrana celular en estado de reposo es 30 veces menos permeable al Na^+ que al K^+ , el sodio si crusa a través de la membrana celular. La mayor parte de los electrofisiólogos piensa que la energía para mantener el PRM deriva del ion sodio. Algunas consideraciones teóricas y evidencias experimentales parecen dar apoyo a la idea de que el sodio entra a la célula en una forma iónica pero que abandona la célula en forma no iónica. Así se cree que los iones de sodio entran a la célula y producen la fuente de energía. En seguida los iones de sodio se combinan con alguna sustancia intracelular noconocida y esta combinación no iónica abandona la célula.

Al principio de la despolarización de una célula muscular se produce un cambio brusco en la permeabilidad de la membrana celular a los iones de sodio y potasio. Los iones de sodio penetran a la célula y dan por resultado un brusco ascenso de potencial intracelular hacia la positividad (aproximadamente 20 mv). Este fenómeno se acompaña de una migración de los iones de potasio al exterior de la membrana celular. Despues de esta rápida fase de despolarización (fase 0) hay un retorno relativamente lento y gradual del potencial intracelular al PRM. Esta es la fase de repolarización y se divide habitualmente en tres fases: Fase 1: Periodo rápido inicial de repolarización. Fase 2: Periodo de meseta de repolarizaitón. Fase 3: El ultimo periodo de repolarización, que es un retorno lento, gradual de potencial intracelular al PRM, (el PRM se conoce como fase 4).

Durante la repolarización el mecanismo de la bomba de sodio, que ha sido arrollado por la rápida entrada de los iones de sodio durante la repolarización, nuevamente entra en acción y produce una rápida expulsión del sodio al compartimiento extracelular. La curva de expulsión de sodio es muy parecida a la curva del potencial de acción durante la repolarización. Durante las fases 1 y 2, el potasio sale de la célula. Durante la fase 3, hay una entrada de iones de potasio a la célula y se restaura el PRM al final de la repolarización. La fase 3 se acompaña de una lenta entrada de iones de calcio a la célula.

La curva completa del potencial intracelular, según se muestra en la siguiente figura es el potencial de acción monofásico. La duración de esta curva desde el principio de la despolarización hasta la terminación de la repolarización es la duración del potencial de acción.

La actividad eléctrica del corazón es la respuesta de las células cardíacas a los estímulos que las impulsan. La actividad eléctrica se manifiesta en la actividad muscular, que es la contracción del músculo cardíaco. La actividad eléctrica es la actividad muscular que se produce en el corazón. La actividad eléctrica es la actividad muscular que se produce en el corazón.

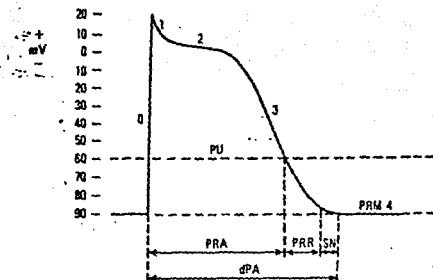


Diagrama del potencial de acción de una célula de músculo ventricular. PRM = potencial de reposo de la membrana; 0 = despolarización; 1, 2, 3 = fases de la repolarización; 4 = fase diastólica = PRM; dPA = duración del potencial de acción; PU = potencial umbral; PRA = periodo refractario absoluto; PRR = periodo refractario relativo; SN = periodo supernormal.

La velocidad a la que se difunde el potencial eléctrico a través del corazón varía considerablemente, dependiendo de las propiedades inherentes de las diferentes porciones del sistema especializado de conducción y del miocardio. La mayor velocidad se encuentra en las fibras de Purkinje y la menor en la porción media del nodo AV. Las siguientes cifras son los promedios de muchos experimentos hechos en diversas especies de animales: nodo SA, 0.05 m/seg; músculo auricular, 0.8 a 1 m/seg; nodo AV, 0.05m/seg; haz de His, 0.8 a 1 m/seg; fibra de Purkinje, 4m/seg; músculo ventricular, 0.9 a 1 m/seg.

Excitación y potencial umbral

La excitación del músculo cardíaco tiene lugar cuando el estímulo reduce el potencial transmembránico a cierto nivel crítico: el potencial umbral. Este es de

aproximadamente -60mV en las células de músculo auricular y ventricular. Esta excitación puede producirse a consecuencia de un estímulo relativamente débil si se hace descender el FPMI y, por lo tanto, más cercano al nivel del potencial umbral.

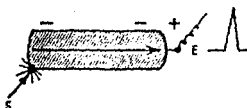
El Electrograma:

Hay dos partes en el electrograma: (i) la que se produce durante el paso del estímulo (despolarización) y (ii) la que se produce cuando el músculo regresa a su estado de reposo (repolarización).

Despolarización.- la difusión inicial del estímulo determinan la deflexión del trazo.

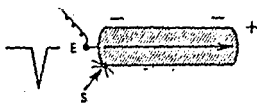
En una tira aislada de músculo:

i. Deflexión positiva (hacia arriba): La deflexión se dirigirá hacia arriba si el estímulo se difunde hacia el electrodos, es decir, hacia el extremo del trozo de músculo con carga positiva.



Deflexión positiva (hacia arriba)

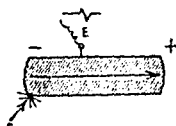
2. Deflexión negativa (hacia abajo): La deflexión se dirigirá hacia abajo si el estímulo se aleja del electrodos que está en el extremo de trozo del músculo que tiene la carga negativa.



Deflexión negativa (hacia abajo)

3. Deflexión difásica: La deflexión será difásica si el electrodos se encuentra en la porción media de la tira

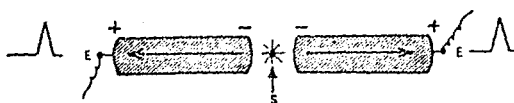
muscular. La deflexión será negativa como resultado del avance de la carga positiva; la segunda deflexión será negativa como resultado del efecto del paso de la carga negativa.



Deflexión dilática

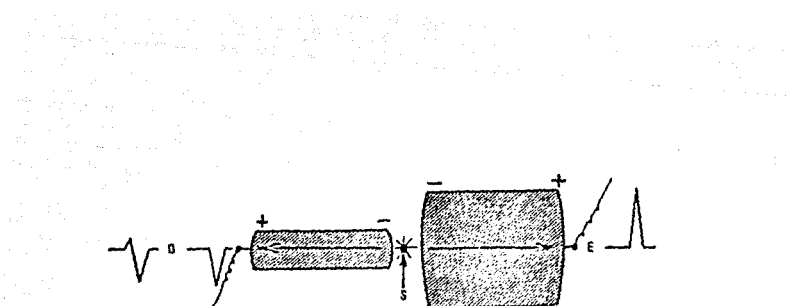
En una doble tira muscular:

1. Músculos del mismo tamaño: Si se estimulan dos tiras de músculo aproximadamente del mismo tamaño en un punto central, se obtendrá una deflexión positiva (de despolarización) de igual magnitud en el extremo de ambas tiras musculares.



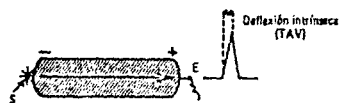
Dos tiras musculares del mismo tamaño

2. Músculos de tamaño diferente: si se estimulan dos masas musculares de tamaño diferente (análogos a los ventrículos derecho e izquierdo) en un punto central, se obtendrá una deflexión positiva grande en el lado de la masa muscular de mayor dimensión y una pequeña deflexión positiva seguida de una profunda deflexión negativa (o una deflexión totalmente negativa) en el lado de la masa muscular pequeña.



Dos tiras musculares de tamaños muy diferentes.

Deflexión intrínseca (tiempo de activación ventricular, TAV). El tiempo requerido para la difusión del impulso desde el extremo opuesto de la tira muscular puede correlacionarse con el electrograma midiendo el intervalo que hay entre el principio de la onda de despolarización hasta su vértice. En electrocardiografía clínica este tiempo ha sido denominado deflexión intrínseca, tiempo de activación ventricular (TAV) o tiempo del vértice de la R.

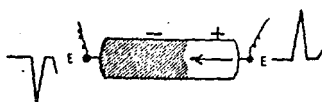


Repolarización: La vuelta del músculo estimulado al estado de reposo se conoce como repolarización.

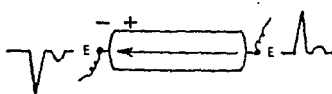
Derecha a Izquierda: Si la repolarización tiene lugar en dirección opuesta a la de la despolarización la repolarización de derecha a izquierda se ilustra en los siguientes 3 diagramas:



Depolarización de izquierda a derecha

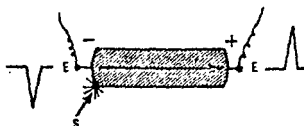


Repolarización que se inicia de derecha a izquierda

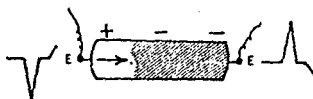


Repolarización que se ha completado

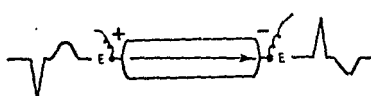
Izquierda a Derecha: Si la repolarización ocurre en la misma dirección que la despolarización. La repolarización de izquierda a derecha se ilustra en los siguientes 3 diagramas:



Depolarización de izquierda a derecha



Repolarización que se inicia de izquierda a derecha

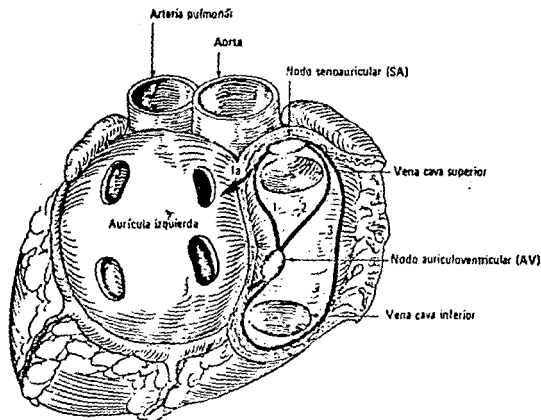


Repolarización que se ha completado

En los experimentos realizados en tiras aisladas de músculo, la onda de repolarización es opuesta a la de la despolarización. Sin embargo, este dato no prueba que tenga lugar una repolarización en la misma dirección en el corazón humano intacto.

ANATOMÍA Y FISIOLOGÍA DEL SISTEMA DE CONDUCCIÓN

El corazón tiene la capacidad inherente de iniciar y conducir los impulsos que estimulan la contracción muscular. Esta capacidad se localiza en el tejido neuromuscular conocido como el sistema de conducción. El sistema de conducción consiste de (1) el nodo senoauricular (SA), (2) las vías internodales auriculares, (3) el nodo auriculoventricular (AV), (4) el haz de His, (5) las ramas fasciculares derecha e izquierda y (6) el sistema de Purkinje.



Esquema diagramático de las vías auriculares internodales vistas desde la cara posterior del corazón, en la que se ha eliminado la pared posterior de la aurícula derecha. (1) Tracto internodal anterior. (1a) Rama del tracto internodal anterior a la aurícula izquierda. (2) Tracto internodal medio. (3) Tracto internodal posterior.

Nodo SA

Normalmente el latido cardiaco es controlado por impulsos ritmicos que nacen en el nodo SA y este ultimo es, por lo tanto, el marcapasos cardiaco. Consiste de un haz de tejido neuromuscular que mide aproximadamente 5 X 20 mm que esta situado en la superficie endocárdica de la auricula derecha en la unión de la vena cava superior y el apéndice de la auricula derecha. El impulso se propaga en seguida a través de ambas aurículas y produce la onda P.

Vías auriculares internodales

La conducción a través de las aurículas tiene lugar a lo largo de 3 haces de miocardio que contienen fibras de tipo Purkinje: (1) el tracto internodal anterior (Bachmann) sale del nodo SA en dirección anterior y rodea la vena cava superior y la pared anterior de la auricula derecha. Ahí se divide en dos haces de fibras, uno que penetra en la auricula izquierda y otro que cursa sobre la porción anterior del tabique interauricular y desciende oblicuamente detrás de la raíz de la aorta para penetrar en el margen anterosuperior del nodo AV. (2) El tracto internodal medio (Wenckebach) sale del margen posterior del nodo SA, rodea la vena cava superior y sigue un curso a lo largo de la porción posterior del tabique interauricular para entrar al margen superior del nodo AV. (3) El tracto internodal posterior (Thorel) sale del margen posterior del nodo SA y sigue el curso de la crista terminalis de la cresta de Eustaquio para entrar en el margen posterior del nodo AV. Hay extensiones laterales de este tracto que se ramifican sobre la superficie dorsal de la auricula derecha. Entre los 3 tractos hay fibras que interconectan y se fusionan inmediatamente por encima del nodo AV. Algunas de estas fibras no penetran en el nodo AV sino que lo saltan y pueden volver a entrar al sistema de conducción en un sitio distal al nodo AV.

Nodo AV

Este haz de tejido neuromuscular especializado mide 2 X 5 mm. Se encuentra en la superficie endocárdica en el lado derecho del tabique interauricular inmediatamente por debajo del orificio de entrada del seno coronario. El impulso que se ha difundido a través de ambas aurículas entra al nodo AV y normalmente se detiene aproximadamente 0.07 seg.

Haz de His

El haz de His se continúa directamente con la

porción inferior del nodo AV. Mide aproximadamente 20 mm de longitud y está situado en la superficie endocárdica de la pared derecha del tabique interauricular, inmediatamente por encima del tabique interventricular. El haz de Hiz no es una masa homogénea de tejido de conducción, sino que consiste de múltiples tractos longitudinales individuales. Es probable que haya tractos específicos que se continúan con ramas del haz igualmente específicas.

Ramas del Haz

La rama derecha nace del haz de Hiz y cursa a lo largo de la superficie endocárdica de la pared derecha del tabique interventricular. La rama derecha se divide distalmente en 3 porciones (anterior, lateral y posterior). De estas nacen arbolizaciones de las fibras de Purkinje y se distribuyen sobre la superficie endocárdica del ventrículo derecho y la porción distal del tabique interventricular.

En el lado izquierdo del tabique se ve que nacen 3 ramas fasículares a partir del haz de Hiz. La más próxima es el fasículo posterior izquierdo que se distribuye como una gruesa banda de fibras sobre la superficie posterior e inferior del endocardio del ventrículo izquierdo. Inmediatamente distal al origen del fasículo posterior, se encuentra el fasículo anterior izquierdo que se distribuye como una angosta banda de fibras sobre las superficies anterior y superior del endocardio del ventrículo izquierdo. Hay fibras individuales que nacen de las porciones proximales de los fasículos anterior izquierdo y posterior izquierdo del tabique interventricular. Este es el fasículo septal. Las porciones del fasículo anterior entran a las superficies anterior y superior del tabique, y las del fasículo posterior entran en las porciones posterior e inferior del tabique. Así pues, el sistema de ramas fasículares consiste de 4 fasículos: (1) una rama derecha, (2) un fasículo posterior izquierdo, (3) un fasículo anterior izquierdo y (4) un fasículo septal izquierdo.

La porción media del tabique interventricular se activa normalmente de izquierda a derecha. Las fibras de Purkinje nacen más próximas a partir de las divisiones de la rama izquierda que de la rama derecha del haz de Hiz y entran en el lado izquierdo del tabique, al cual activan en primer término. La onda de excitación de izquierda a derecha produce la negatividad inicial de la cavidad ventricular izquierda y la positividad inicial de la cavidad ventricular derecha. Produce una fuerza orientada a la derecha y adelante,

Sistema de Purkinje

Después de atravesar la rama derecha del haz de His y las ramas fasciculares del haz izquierdo, el impulso pasa a las múltiples ramificaciones del sistema de purkinje que cubren las superficies subendocárdicas de ambos ventrículos. El impulso sigue viajando en seguida perpendicularmente del endocardio a la superficie epicárdica del miocardio ventricular el que produce el resto del complejo QRS.

La región anteroseptal del ventrículo derecho es el sitio de activación más temprana de la pared ventricular libre. La región posterobasal del ventrículo izquierdo, el cono pulmonar y la porción más alta del tabique interventricular se activan al último.

ELECTRODOS

Los potenciales bioeléctricos generados en el cuerpo son potenciales iónicos, producidos por un flujo de corriente iónica. Para medir estos potenciales iónicos eficientemente, deben ser convertidos en potenciales electrónicos antes de que puedan ser medidos por métodos convencionales.

Los dispositivos que convierten potenciales iónicos en potenciales electrónicos son llamados electrodos.

Los electrodos usados para medir biopotenciales son piezas de metal que pueden ser colocados sobre o dentro del cuerpo, cuyos flujos pueden ser considerados como electrolitos. Cuando un metal está en contacto con una solución电解质, una reacción electroquímica produce una diferencia de potencial (un voltaje) entre el metal y la solución. Las reacciones químicas que se dan lugar entre metales y electrolitos influyen en el desarrollo de electrodos fisiológicos.

La diferencia de potencial entre las terminales de los electrodos fisiológicos en contacto con el cuerpo es llamada voltaje de desajuste (offset) de electrodos. Si los electrodos fueran químicamente idénticos (una suposición ideal), el valor de desajuste sería igual a cero. En la práctica, los electrodos tienen algunas diferencias químicas. Debido a esto usualmente hay algún valor de voltaje de desajuste (offset) entre las terminales de electrodos fisiológicos cuando éstos han sido aplicados.

El valor y polaridad de el potencial del electodo depende en gran medida del tipo de material usado. Por lo general el voltaje de CD de desajuste (offset) excede el

valor de la medición de la variable fisiológica. Un gran voltaje de desajuste (offset) puede interferir o influir en la medición y provocar una respuesta errónea.

Algunos experimentos han mostrado que la actividad química a raíz de la colocación de los electrodos puede causar la aparición de fluctuaciones de voltaje (ruido) sin ninguna entrada fisiológica. Estas variaciones pueden también aparecer como respuestas. Ambos el voltaje y el ruido pueden ser reducidos mediante la adecuada elección de los materiales del electrodo o, en algunos casos, a través de un tratamiento especial. Se ha encontrado que el electrodo "plata-cloruro de plata (Ag-AgCl)" es el tipo de electrodo más estable y que su potencial de electrodo es de un valor bajo. Este tipo de electrodo se prepara cubriendo químicamente una pieza de plata casi pura con cloruro de plata, una sal. El cubrimiento es normalmente hecho colocando una pieza de plata limpia en una solución de cloruro de sodio. Es colocada una segunda pieza de plata en la solución, y ambas son conectadas a una fuente de voltaje de DC haciendo el electrodo a clorar positivo con respecto al otro. Los iones de plata se combinan con los iones clorados de la solución de sal produciendo así una delgada película de moléculas de cloruro de plata neutral la cual cubre el electrodo de plata. Cuando este tipo de electrodo se limpia después de usarse, debe tenerse cuidado de no dañar la cubierta de cloruro de plata.

Cuando un electrodo está en contacto con la superficie de la piel, hay una cierta resistencia en la interfase electrodo-piel. Los aparatos de registro fisiológico requieren que los electrodos hagan buen contacto (baja resistencia) con la piel. Dado que las capas maPh's externas de la piel en gran medida son de células muertas, junto con cierta cantidad de grasa, la resistencia eléctrica de la piel es alta comparada con la resistencia de los flujos corporales. Al colocar los electrodos superficiales, el lugar de aplicación es por lo general preparado o tratado para bajar la resistencia de la piel. Las capas de células muertas pueden ser retiradas con alcohol o con algún otro agente limpiador. Debe entonces aplicarse una jalea o pasta conductiva (electrolítica) en el electrodo y la piel formando así un puente entre los iones en el cuerpo y la superficie del electrodo y para asegurar un valor bajo de resistencia en la interfase electrodo-piel. Los electrodos de superficie generalmente tienen resistencias de 2000 a 10000 Ohms.

A través de desarrollos recientes, los electrodos desechables pueden ser usados por extensos períodos de tiempo en aplicaciones de monitoreo continuo con muy poca molestia al paciente. Soportes plásticos flexibles y suaves anillos plásticos adhesivos permiten a los electrodos adaptarse al contorno del cuerpo. También, cuando son aplicados, los anillos de plástico tienden a impedir que entre el aire a los electrodos y se seque la jalea. Por lo tanto la baja resistencia de la piel puede mantenerse por períodos de tiempo relativamente largos.

TRAZOS ELECTROCARDIOGRAFICOS

La cuadricula electrocardiográfica

El papel electrocardiográfico está graficado con líneas horizontales y verticales a intervalos de 1mm. Se observa una línea más gruesa cada 5mm. El tiempo se mide en las líneas horizontales: 1 mm = 0.04 seg; 5 mm = 0.2 seg. El voltaje se mide en las líneas verticales y se expresa en mm (10 mm = 1 mV). En la práctica electrocardiográfica habitual, la velocidad es una señal del mV que produce una deflexión de 10 mm.



COMPLEJOS ELECTROCARDIOGRAFICOS NORMALES

Las letras mayúsculas (Q,R,S) se refieren a ondas relativamente grandes (de más de 5 mm); las letras pequeñas (q,r,s) se emplean para ondas relativamente pequeñas (de menos de 5 mm).

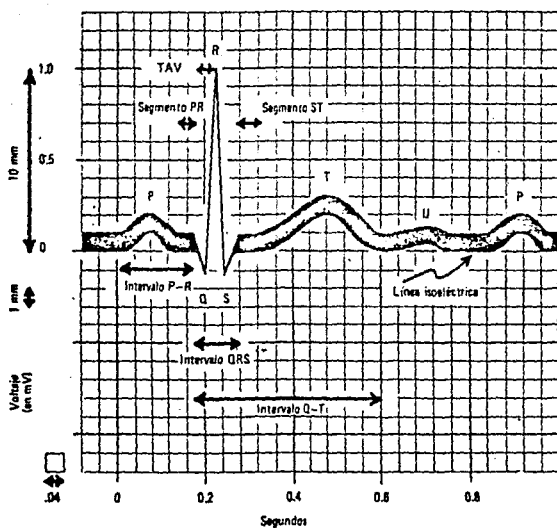


Diagrama de los complejos, intervalos y segmentos electrocardiográficos.

El voltaje de las deflexiones positivas (P, R positivo, T positivo) se mide desde la porción superior de la línea de base hasta el vértice de las ondas.

El voltaje de las deflexiones negativas (ondas P, D, S, T invertida) se mide desde la porción inferior de la línea de base hasta el nadir de la onda.

FUNCIONAMIENTO Y DESCRIPCION DEL ELECTROCARDIOGRAFO

El electrocardiografo se divide en dos partes: una parte aislada conectada al paciente como protección contra cualquier falla y una parte no aislada conectada a la linea de alimentación.

Se aísla con un convertidor DC-DC con tierra flotada; esta tierra flotada es conectada a la pierna derecha del paciente y la forma de la señal generada en el cuerpo se pasa de la parte aislada a la no aislada por medios ópticos.

En la parte que no está aislada se amplifica y se filtra la forma de onda generada para poder graficarla o visualizarla en una pantalla.

Debido a que el límite de corriente de fundo hacia un humano no debe pasar de 10 mA, la fuente aislada tiene un límite de corriente y voltaje y por lo tanto los elementos que conforman esta parte también son de bajo consumo de corriente (y básicamente son: amplificadores operacionales, resistencias, capacitores, multivibradores, un diodo zener, un contador, leds, compuertas inversoras, and y nor); las especificaciones de los elementos están en el apéndice A). Esta parte también está conectada al desfibrilador de 5000V; para esta parte se aísla el electrocardiografo por medio de focos de neon y una red de diodos, lo cual también protege al circuito cuando haya una falla y se estén utilizando en conjunción con otros aparatos en cirugía.

El electrocardiografo comprende las siguientes etapas:

La señal eléctrica generada por el corazón es captada por medio de cinco electrodos colocados según la red de Wilson; ésta señal se mete a unos (Buffers) amplificadores configurados como seguidor con el objeto de quitarles ruido, los cuales también compensan el offset generado en los amplificadores, la configuración no inversora de los seguidores asegura una alta impedancia de entrada; en ésta etapa se tiene una realimentación negativa con un amplificador sumador para quitar el offset generado por el cuerpo en donde se force a que la conexión de referencia (tierra) en la pierna derecha asuma un voltaje igual a la suma de voltajes de las otras caras, tomando la interferencia de la señal del ECG del paciente, y regresa una señal al paciente la cual cancela la señal de interferencia alrededor de él. La corriente de retroalimentación nunca excede la corriente alrededor de la cual flota el paciente. Este amplificador no constituye un peligro y es el mejor limpiador de la señal de ECG, provee además al paciente de un

aislamiento a tierra y el arreglo incrementa el rechazo de modo común necesario ya que las señales del corazón pueden estar envueltas con ruido muscular, voltajes residuales de electrodos y ruido de 60 Hz; el alto rechazo en modo común es necesario también para un buen monitoreo en ancho de banda que se maneja (DC - 100 Hz).

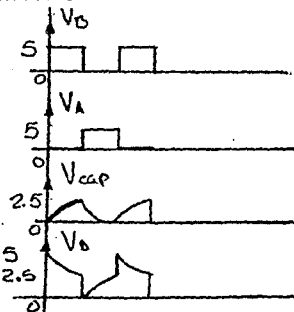
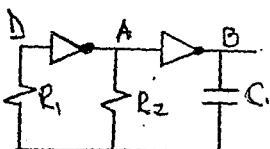
Ya sin offset la señal del cuerpo se mete a la red de Wilson que está diseñada para dar las derivaciones estándar que generalmente son requeridas por norma. Para formar la red, las resistencias tienen que guardar aproximadamente una proporción de 1, 2 o 3 en sus valores; nosotros elegimos para evitar desajustes de offset, debido a que la señal se suma y resta a través de la red los valores de 100k, 220k y 330k porque son los valores adecuados para disminuir los efectos de ruido y offset y además son más estables respecto a la temperatura.

A la misma altura tenemos una etapa de calibración en donde se introduce una señal calibrada (1 mV por normal) a la entrada para facilitar el sistema de monitoreo ayudando a que el médico tenga una referencia para las variables del electrodo. Este circuito opera switchando la señal de entrada. Esta señal es generada con un diodo zener y un divisor de voltaje hecho de resistencias de precisión.

Selector Digital: nos sirve para elegir la derivación necesaria a examinar multiplexando las señales e indicándonos con leds la selección en la que nos encontramos; conformandolo con switch up/down, oscilador RC y entregandonos la señal en forma diferencial.

El funcionamiento del oscilador se explica a continuación:

Oscilación del circuito



R1 puede funcionar como una limitante de corriente en los cambios bruscos y el circuito puede oscilar sin R1

El contador y los multiplexores son comerciales y las especificaciones se encuentran el en apéndice A.

Después del selector la señal del ECG va a un preamplificador, que es un amplificador diferencial y que conjugado con los buffers nos da un amplificador de instrumentación con alto rechazo a modo común y ganancia; en este amplificador diferencial se eliminan los voltajes que pudieran originarse en la polarización de los electrodos. La función del amplificador diferencial es amplificar la diferencia entre dos señales, por lo tanto, ninguna señal que sea común a las dos entradas deberá tener algún efecto sobre el voltaje de salida; también se involucra un voltaje en modo común idealmente cuando el voltaje en modo diferencial es grande el voltaje en modo común debe ser cero, de esto obtenemos una cantidad llamada relación de rechazo en modo común y que sirve como figura de mérito de los amplificadores diferenciales. La etapa de amplificadores debe cumplir los requisitos de guardar la fidelidad de la señal y minimizar el ruido existente, esto significa que debe tener una gran impedancia de entrada y un elevado rechazo en modo común; la ganancia total para las etapas de amplificación por norma es de 2000 1000 y 500. En seguida un filtro paso altas de primer orden, el cual defasa la señal 90 grados y tenemos una ganancia unitaria, otro amplificador con ajuste de offset y ganancia para alimentar el VCO y el cual acopla la impedancia para el VCO.

Se tiene un modulador con un VCO y un fotocomisor en la parte aislada en la parte no aislada se tiene un fotoreceptor, un demodulador con un PLL sintonizado para el VCO modulador, un filtro (el comportamiento del filtro se muestra en la gráfica correspondiente), éste elemento es del tipo Butterworth con realimentación múltiple el cual mantiene una ganancia aproximadamente constante pero un retardo grande; el retardo es el que determina el orden del filtro (para el retardo máximo permitido por las normas de 4.5 ms. en 0.5-100 Hz a la salida), es necesario un filtro de tercer orden el cual nos defasa la señal 270 grados y que conjugado con el filtro paso altas de primer orden la fase queda finalmente a 750 grados. Un ajustador de offset con ganancia se arroja en la última etapa con el voltaje suficiente para mover el nivel de la señal y controlar su posición; un seguidor emisor para acoplamiento de impedancias al graficador y la fuente aislada que es en base a un

transformador de aislamiento

CONCLUSIONES

En la construcción del circuito únicamente faltó la graficadora ya que la prevista para el mismo falló y no se pudo reparar debido a no encontrar el chip por lo que se monitorearon las gráficas en un osciloscopio. Cabe mencionar que se dejó el circuito con controles listos para adaptar a cualquier graficadora.

La señal a la salida del circuito cumple con las normas internacionales básicas establecidas para los electrocardiógrafos. Este proyecto se desarrolló en el C.E.D.A.T. en el Sevenio pasado.

Todos los elementos utilizados en su construcción se encuentran fácilmente a la venta en el país a excepción del transformador de aislamiento que no se encuentra aquí en los E.U. existen varios tipos que pueden servir como fuente aislada encontrando los más baratos por mayoreo.

El costo aproximado de todos los elementos fué de 210000 más 86 dólares haciendo un total de 400000 pesos, pudiendo salir si se compra el transformador por mayoreo en 240000 pesos.

Podemos concluir que nuestro proyecto si cumplió los objetivos planteados y que entre las satisfacciones personales estuvo el trabajo en equipo que es el medio ambiente ingenieril así como el darnos cuenta de como se acopla un circuito integrando la formación de conocimientos que tenemos en nuestra facultad.

APENDICE A

RESUMEN DE NORMAS PARA EL ELECTROCARDIOGRAFO

I Denominación de las Terminales de las Extremidades.

R Brazo Derecho

L Brazo Izquierdo

F Pierna Izquierda

N Pierna Derecha (aún cuando puede colocarse en cualquier parte del cuerpo)

II Derivaciones Aumentadas Segün Goldberger.

Se forma al conectar un electrodo de las extremidades con el punto medio de las otras dos extremidades mediante dos resistencias del mismo valor:

aVR de R al punto medio formado por L y F

aVL de L al punto medio formado por R y F

aVF de F al punto medio formado por R y L

III Polaridad de los Electrodos.

Derivación	Polo Positivo	Polo Negativo
I	L	R
II	F	R
III	F	L
IV	C	R,L,F
aVR	R	L y F
aVL	L	R y F
aVF	F	R y L

IV Código de colores para las derivaciones

Derivación	Color
R	Rojo
L	Amarillo
F	Verde
C	Blanco
CA	Blanco y Rojo
CB	Blanco y Amarillo
CC	Blanco y Verde
CD	Blanco y Negro
CF	Blanco y Violeta
CG	Blanco y Naranja
CH	Blanco y Azul
CI	Blanco y Rosa
CK	Blanco y Gris
N	Negro

V Selector

Como mínimo debe tener el selector las siguientes derivaciones: I, II, III, la V y botón de calibración o prueba.

VI Impedancia de Entrada del Circuito.

Entre cualquier par de conexiones y en todas las posiciones del selector debe ser la impedancia de entrada de por lo menos 300 K dentro del rango de 0.1 a 200 Hz. Este valor es suficientemente grande para obtener una señal sin distorsión siempre y cuando el valor de la impedancia entre la piel y el electrodo sea menor a 30 K

VII Corriente de Fuga.

El valor de la corriente de fuga entre nodos no debe exceder los 0.1 microampers.

VIII Calibración

El selector debe tener una posición denominada prueba o calibración y mediante ella debe aplicarse un pulso de 1 mV que no varíe en más del 5% de su valor en los primeros 2 seg.

IX Ajuste de la Línea del Cero.

Este valor deberá mantenerse dentro de un rango menor o igual a + 10 mm del valor real siempre y cuando el valor total del área efectiva de escritura sea de 20 mm como mínimo.

X Nivel de Ruido.

Bajo condiciones de trabajo normales la linea del cero no deberá ensancharse más de 10 V.

XI Distorsión.

La señal deberá estar libre de toda distorsión ya sea lineal o alineal.

XII Características de Amplitud y Frecuencia.

Una señal senoidal con una amplitud de 1 mV de pico no deberá variar en más del 5% ni del -10% del valor conseguido a 10Hz dentro de todo el rango comprendido entre 0.3 y 60 Hz.

XIII Sensitividad.

Cada canal tendrá un ajuste que pueda variar por lo menos 15 mm/mV de manera tal que el voltaje de medición no sobrepase el área efectiva de escritura en la registradora el valor nominal para hacer lecturas de 10mm/mV.

XIV CMRR

El valor mínimo del CMRR será de 40 dB.

XV Filtro Muscular.

Para evitar que en el trazo electrocardiográfico aparezcan distorsiones debidas a la interferencia por temblor del paciente puede incluirse un filtro muscular con las siguiente respuesta en frecuencia -3 dB entre 25 y 30 Hz. y -20 dB entre 250 y 300 Hz.

La fase se mantendrá dentro de 4ms entre 3 y 60 Hz.

XVI Amortiguamiento.

El circuito podrá admitir un sobrepico máximo del 10% para una señal de 1mV.

XVII Constante de Tiempo.

Si se coloca a la entrada del EKG una señal de CC de 1 mV y se retira repentinamente, el valor registrado deberá ser hasta el primer cruce por la línea del cero equivalente a 1.5 seg.

XVIII Tolerancia en el Registro.

Una señal senoidal con un valor de 1 mV de pico a pico a la entrada del instrumento deberá mantenerse dentro de un rango del 10% de su valor en su representación gráfica entre 0.3 y 60 Hz. Las señales de hasta 0.2 mm deberán poder registrarse, las señales cuya amplitud sea de

0.5, 1 y 2 mm deberán registrarse con un error máximo de 0.2mm.

El papel para graficar tendrá un ancho de 35mm
El área efectiva mina de trabajo será de 25mm
Las velocidades de trabajo serán de 25 y 50-
mm/seg.

B I B L I O G R A F I A

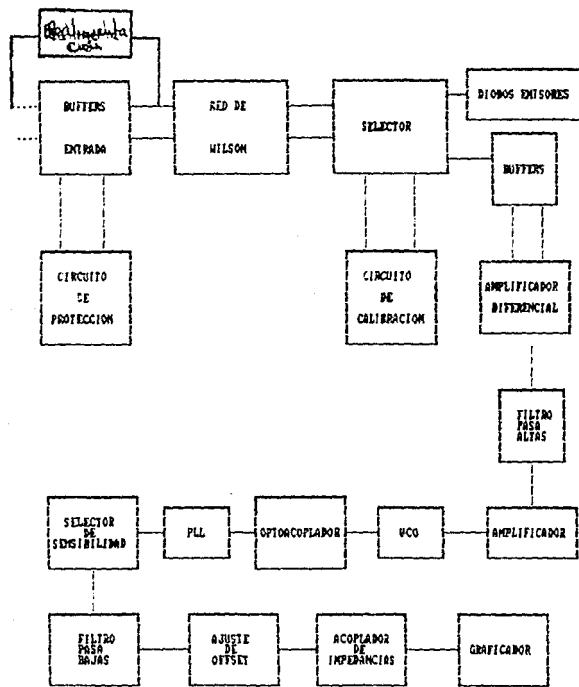
- (1)- Burch, De Pasquale, *A History of Electrocardiography*
- (2)- Cromwell, L., Weibell, F., Pfeiffer, E. *Biomedical Instrumentation and Measurements*, 2a. Edición, 1980, Prentice Hall
- (3)-DIN'13 401, *Elektrokardiographen, Normas Alemanas para Electrocardiógrafos*, 1971, Deutsche Elektrotechnische Kommission
- (4)-Geddes, L. A., Baker, L.E., *Principles of Applied Biomedical Instrumentation*, 2a. Edición, 1975, John Wiley and Sons
- (5)- Goldman, Mervin J., *Principles of Clinical Electrocardiography*, 3a. Edición, 1964, Lange Medical Publications
- (6)-Graeme, J., Tobey, G., Huelsman, L. P., *Operational Amplifiers, Design and Applications*, 1971, McGraw Hill
- (7)- Hnatek, E.R., *Applications of Linear Integrated Circuits*, 1979,
- (8)-ISI 8048, Indian Standards, *Normas Hindúes para Electrocardiógrafos*, 1976,
- (9)- National Semiconductor, *Linear Databook*, Edición 1982, National Semiconductor Corporation
- (10)-National Semiconductor, *Voltage Regulator Handbook*, Edición 1980, National Semiconductor Corporation
- (11)- National Semiconductor, *Logic Databook Volume I*, Edición 1984, National Semiconductor Corporation
- (12)-Siemens, *Handbook of Electromedicine: Basic Principles, Applications, Equipment*, 1987, John Wiley
- (13)-Texas Instruments, *The Optoelectronics Data Book for Design Engineers*, 5a. Edición, 1978, Texas Instruments Inc.
- (14)- Texas Instruments, *Manual de Semiconductores de Silicio*, Edición Técnica 82 / 83, Texas Instruments Inc.

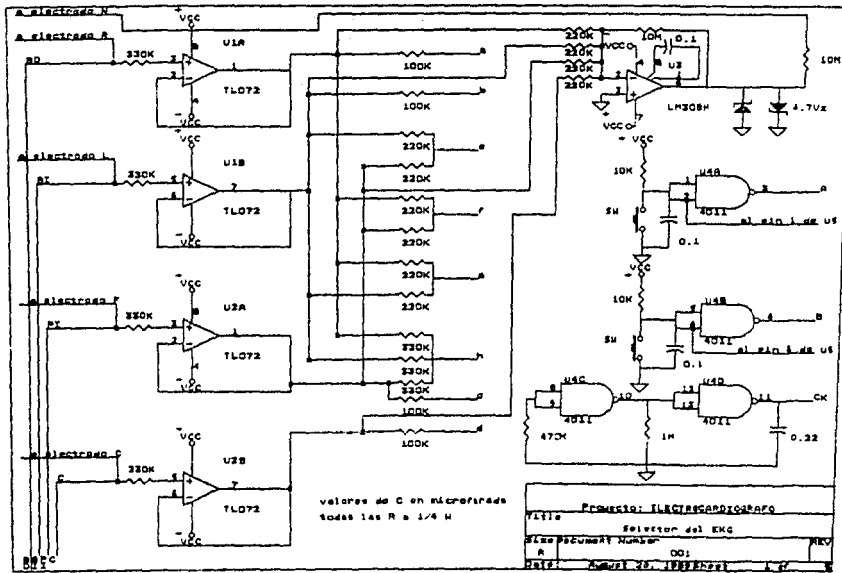
(15)- Webster, J.G., et al, *Medical Instrumentation: Applications and Design*, 1970, Houghton Mifflin

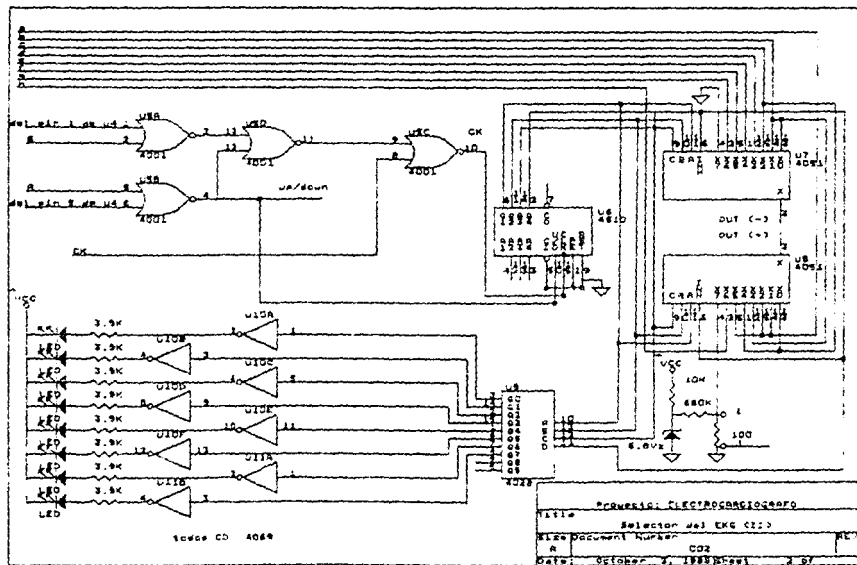
PAQUETES DE COMPUTADORA UTILIZADOS

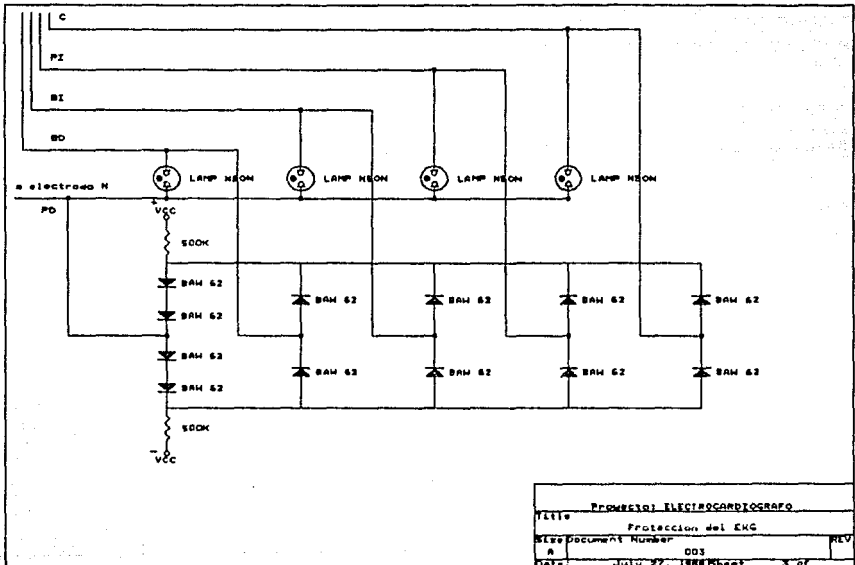
- (1) smARTWORK, para diseño de circuitos impresos
- (2) ORCAD, para el diseño de circuitos a base de símbolos eléctricos
- (3) Flowchart, para el diseño del diagrama de bloques
- (4) Wordstar Pro, para la edición del trabajo escrito

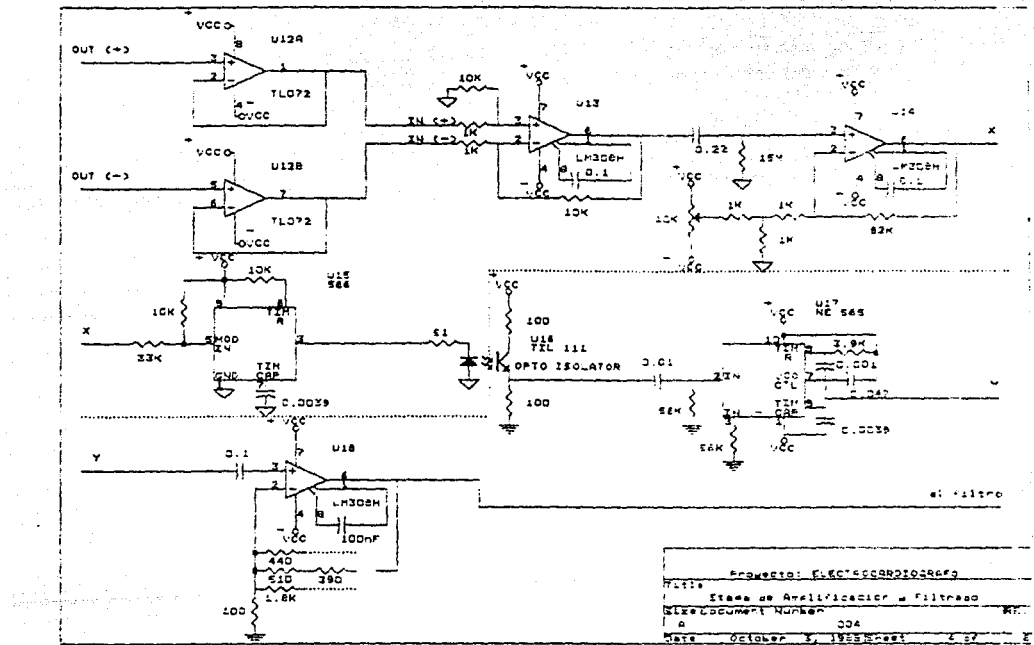
DIAGRAMA DE BLOQUES DEL ELECTROCARDIOGRAFO











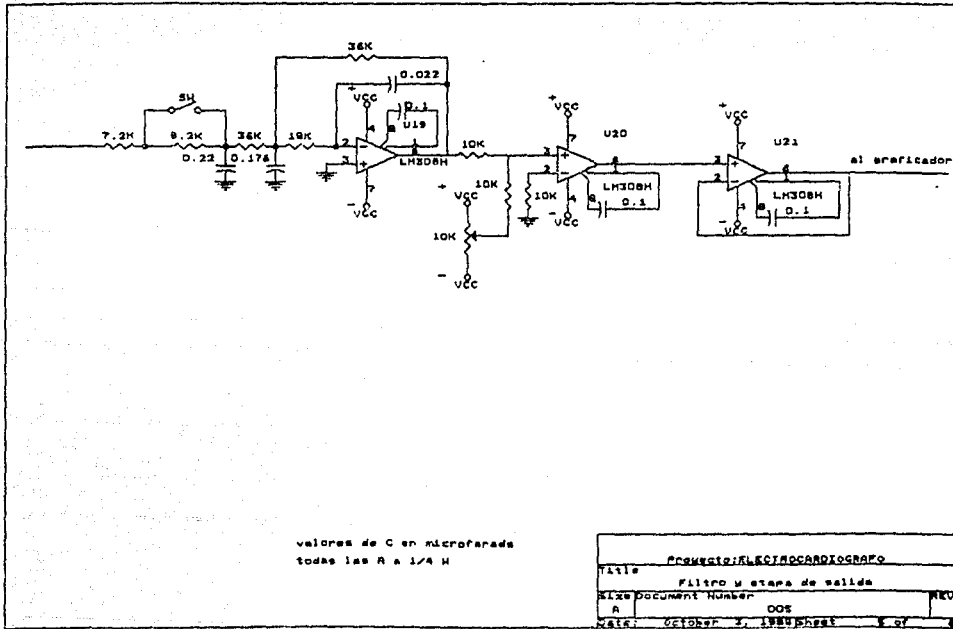
SEARCHED: ELECTRONICALLY

Table 1. The effect of different concentrations of *S. enteritidis* on the growth of *C. elegans*

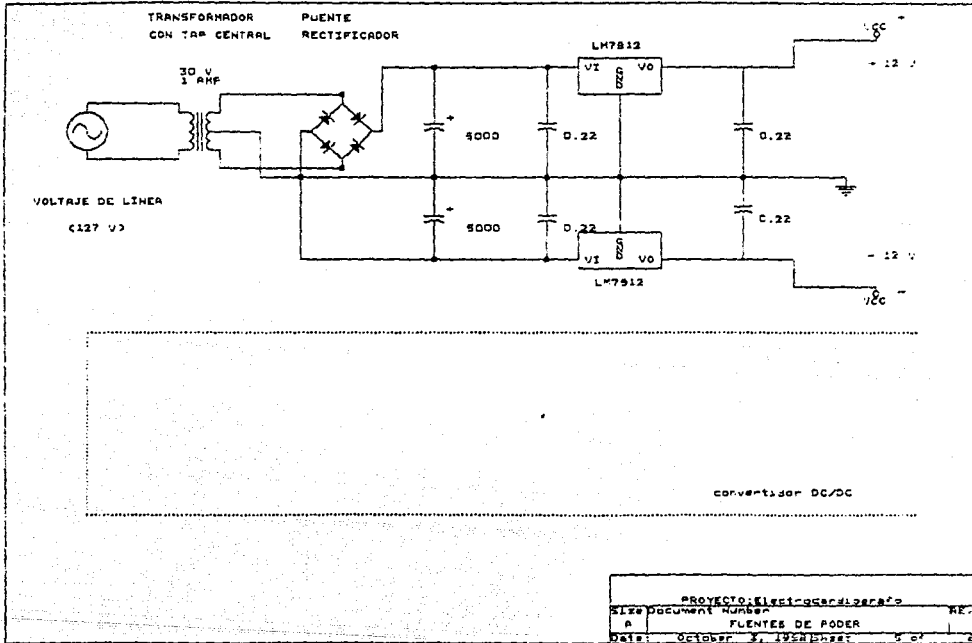
STANISŁAW WŁODKOWICZ - WŁODKOWICZ

Digitized by srujanika@gmail.com

DATE RELEASED BY GOVERNMENT



Projecto: ELETROCARDIOGRAFO	
Título: FILTRO y etapa de salida	
SILCE Document Number: 005	
A	DOS
REV: 6	
Data: October 2, 1988	



PROJECTO: Electrificador		REF:
SIZE	Document Number	
A	FUENTES DE PODER	
DATE:	October 3, 1981	Sheet
		5 of 6

Absolute Maximum Ratings (Note 1)

Voltage at Any Pin	$V_{SS} - 0.3V \text{ to } V_{DD} + 0.3V$	Storage Temperature Range	-65°C to +150°C
Operating Temperature Range		Package Dissipation	500 mW
CD4001M, CD4011M	-55°C to +125°C	Operating V _{DD} Range	$V_{SS} + 3.0V \text{ to } V_{SS} + 15V$
CD4001C, CD4011C	-40°C to +85°C	Lead Temperature (Soldering, 10 seconds)	300°C

DC Electrical Characteristics - CD4001M, CD4011M

Parameter	Condition ¹⁹	Limits						Units
		-55°C		25°C		125°C		
		Min.	Max.	Min.	Typ.	Max.	Min.	Max.
I _D Quiescent Device Current	V _{DD} = 5.0V V _{DD} = 10V	0.05		0.001	0.05		3.0	μA
I _D Quiescent Device Dissipation/Package	V _{DD} = 5.0V V _{DD} = 10V	0.25		0.005	0.25		15	μW
I _O Output Voltage Low	V _{DD} = 5.0V, V _I = V _{DD} , I _O = 0A V _{DD} = 10V, V _I = V _{DD} , I _O = 0A	0.05		0	0.05		0.05	V
I _O Output Voltage High	V _{DD} = 5.0V, V _I = V _{SS} , I _O = 0A V _{DD} = 10V, V _I = V _{SS} , I _O = 0A	4.95		4.95	5.0		4.95	V
I _N Noise Immunity (All Inputs)	V _{DD} = 5.0V, V _O = 3.6V, I _O = 0A V _{DD} = 10V, V _O = 7.2V, I _O = 0A	1.5		1.5	2.25		1.4	V
I _N Noise Immunity (All Inputs)	V _{DD} = 5.0V, V _O = 0.95V, I _O = 0A V _{DD} = 10V, V _O = 2.9V, I _O = 0A	1.4		1.5	2.25		1.5	V
I _P Output Drive Current N Channel (4001)	V _{DD} = 5.0V, V _O = 0.4V, V _I = V _{DD} V _{DD} = 10V, V _O = 0.5V, V _I = V _{DD}	0.5		0.40	1.0		0.28	mA
I _P Output Drive Current P Channel (4001)	V _{DD} = 5.0V, V _O = 2.5V, V _I = V _{SS} V _{DD} = 10V, V _O = 9.5V, V _I = V _{SS}	-0.62		-0.5	-2.0		-0.35	mA
I _P Output Drive Current N Channel (4011)	V _{DD} = 5.0V, V _O = 0.4V, V _I = V _{DD} V _{DD} = 10V, V _O = 0.5V, V _I = V _{DD}	0.31		0.25	0.5		0.175	mA
I _P Output Drive Current P Channel (4011)	V _{DD} = 5.0V, V _O = 2.5V, V _I = V _{SS} V _{DD} = 10V, V _O = 9.5V, V _I = V _{SS}	-0.31		-0.25	-0.5		-0.175	mA
I _{IN} Input Current				10				pA

Note 1: Absolute Maximum Ratings are those values beyond which the safety of the device cannot be guaranteed. Except for Operating Temperature Range, they are not meant to imply that the devices should be operated at these limits. The table of Electrical Characteristics provides conditions for actual device operation.

DC Electrical Characteristics - CD4001C CD4011C

Parameter	Conditions	Limits					
		-40°C		25°C		80°C	
		Min.	Max.	Min.	Typ.	Max.	Min.
I _L Quiescent Device Current	V _{D0} = 5.0V V _{D0} = 10V	0.5	1.005	0.5	1.5		
P _D Quiescent Device Dissipation/Package	V _{D0} = 5.0V V _{D0} = 10V	2.5	0.025	2.5	75		
V _{OLO} Output Voltage Low Level	V _{D0} = 5.0V, V _I = V _{D0} , I _O = 0A V _{D0} = 10V, V _I = V _{D0} , I _O = 0A	0.05	0	0.05	0.05		
V _{OHL} Output Voltage High Level	V _{D0} = 5.0V, V _I = V _{S5} , I _O = 0A V _{D0} = 10V, V _I = V _{S5} , I _O = 0A	4.95	4.95	5.0	4.95		
V _{NL} Noise Immunity (All Inputs)	V _{D0} = 5.0V, V _O = 3.6V, I _O = 0A V _{D0} = 10V, V _O = 7.2V, I _O = 0A	1.5	1.5	2.25	1.4		
V _{NH} Noise Immunity (All Inputs)	V _{D0} = 5.0V, V _O = 0.95V, I _O = 0A V _{D0} = 10V, V _O = 2.9V, I _O = 0A	1.4	1.5	2.25	1.5		
I _{ON} Output Drive Current N-Channel (4001)	V _{D0} = 5.0V, V _O = 0.4V, V _I = V _{D0} V _{D0} = 10V, V _O = 0.5V, V _I = V _{D0}	0.35	0.3	1.0	0.24		
I _{OP} Output Drive Current P-Channel (4001)	V _{D0} = 5.0V, V _O = 2.5V, V _I = V _{S5} V _{D0} = 10V, V _O = 9.5V, V _I = V _{S5}	-0.35	-0.3	-2.0	-0.24		
I _{ON} Output Drive Current N-Channel (4011)	V _{D0} = 5.0V, V _O = 0.4V, V _I = V _{D0} V _{D0} = 10V, V _O = 0.5V, V _I = V _{D0}	0.145	0.12	0.5	0.095		
I _{OP} Output Drive Current P-Channel (4011)	V _{D0} = 5.0V, V _O = 2.5V, V _I = V _{S5} V _{D0} = 10V, V _O = 9.5V, V _I = V _{S5}	-0.145	-0.12	-0.5	-0.095		
I _I Input Current		-0.35	-0.3	-1.2	-0.24		
			10				

AC Electrical Characteristics $T_A = 25^\circ\text{C}$, $C_L = 15\text{ pF}$, and Input rise and fall times = 20 ns.
Typical temperature coefficient for all values of $V_{DD} = 0.3\%/\text{ }^\circ\text{C}$

Parameter	Conditions	Min.	Typ.	Max.	Units
CD4001M					
Propagation Delay Time High to Low Level	$V_{DD} = 5\text{V}$ $V_{DD} = 10\text{V}$	35 25	50 40	ns ns	
Propagation Delay Time Low to High Level	$V_{DD} = 5\text{V}$ $V_{DD} = 10\text{V}$	35 25	65 40	ns ns	
Transition Time High to Low Level	$V_{DD} = 5\text{V}$ $V_{DD} = 10\text{V}$	65 35	125 70	ns ns	
Transition Time Low to High Level	$V_{DD} = 5\text{V}$ $V_{DD} = 10\text{V}$	65 35	175 75	ns ns	
Input Capacitance	Any Input	5.0			pF
CD4001C					
Propagation Delay Time High to Low Level	$V_{DD} = 5\text{V}$ $V_{DD} = 10\text{V}$	35 25	80 55	ns ns	
Propagation Delay Time Low to High Level	$V_{DD} = 5\text{V}$ $V_{DD} = 10\text{V}$	35 25	120 65	ns ns	
Transition Time High to Low Level	$V_{DD} = 5\text{V}$ $V_{DD} = 10\text{V}$	65 35	200 115	ns ns	
Transition Time Low to High Level	$V_{DD} = 5\text{V}$ $V_{DD} = 10\text{V}$	65 35	300 125	ns ns	
Input Capacitance	Any Input	5.0			pF

AC Electrical Characteristics $T_A = 25^\circ\text{C}$, $C_L = 15\text{ pF}$, and Input rise and fall times = 20 ns.
Typical temperature coefficient for all values of $V_{DD} = 0.3\%/\text{ }^\circ\text{C}$

Parameter	Conditions	Min.	Typ.	Max.	Units
CD4011M					
Propagation Delay Time High to Low Level	$V_{DD} = 5\text{V}$ $V_{DD} = 10\text{V}$	50 25	75 40	ns ns	
Propagation Delay Time Low to High Level	$V_{DD} = 5\text{V}$ $V_{DD} = 10\text{V}$	50 25	75 40	ns ns	
Transition Time High to Low Level	$V_{DD} = 5\text{V}$ $V_{DD} = 10\text{V}$	75 50	125 75	ns ns	
Transition Time Low to High Level	$V_{DD} = 5\text{V}$ $V_{DD} = 10\text{V}$	75 40	100 60	ns ns	
Input Capacitance	Any Input	5.0			pF
CD4011C					
Propagation Delay Time High to Low Level	$V_{DD} = 5\text{V}$ $V_{DD} = 10\text{V}$	50 25	100 50	ns ns	
Propagation Delay Time Low to High Level	$V_{DD} = 5\text{V}$ $V_{DD} = 10\text{V}$	50 25	100 50	ns ns	
Transition Time High to Low Level	$V_{DD} = 5\text{V}$ $V_{DD} = 10\text{V}$	75 50	150 100	ns ns	
Transition Time Low to High Level	$V_{DD} = 5\text{V}$ $V_{DD} = 10\text{V}$	75 40	125 75	ns ns	
Input Capacitance	Any Input	5.0			pF

Absolute Maximum Ratings (Note 1)

(Notes 1 and 2)

VDD Supply Voltage	0.5 to +18V
VIN Input Voltage	-0.5 to VDD + 0.5V
T _S Storage Temperature Range	-65°C to +150°C
PD Package Dissipation	500 mW
T _L Lead Temperature (Soldering 10 seconds)	300°C

Recommended Operating Conditions

(Note 2)

VDD Supply Voltage	3.6 to 18V
V _{IN} Input Voltage	0 to VDD - 0.5V
T _A Operating Temperature Range	-55°C to +125°C
CD4028B	CD4028BC
CD4028BC	55°C to +125°C 40°C to +85°C

DC Electrical Characteristics CD4028B (Note 2)

PARAMETER	CONDITIONS	-55°C		25°C		125°C		UNITS	
		MIN	MAX	MIN	Typ	MAX	MIN		
I _{DD} Output Device Current	VDD = 5V	5		0.01	5		150	μA	
	VDD = 10V	10		0.01	10		300	μA	
	VDD = 15V	20		0.02	20		600	μA	
V _{OL} Low Level Output Voltage	I _O = 1 mA, V _{IL} = 0V, V _{IH} = VDD								
	VDD = 5V	0.05		0	0.05		0.05	V	
	VDD = 10V	0.1		0	0.05		0.05	V	
V _{OH} High Level Output Voltage	I _O = 1 mA, V _{IL} = 0V, V _{IH} = VDD								
	VDD = 5V	4.95	4.95	5		4.95		V	
	VDD = 10V	9.95	9.95	10		9.95		V	
V _{IL} Low Level Input Voltage	I _O < 1 mA								
	VDD = 5V, V _O = 0.5V or 4.5V	15		2.25	15		15	V	
	VDD = 10V, V _O = 1V or 9V	30		4.5	30		30	V	
V _{IH} High Level Input Voltage	VDD = 5V, V _O = 1.5V or 13.5V	4.0		6.75	4.0		4.0	V	
	VDD = 10V, V _O = 1.5V or 13.5V	35		2.75	35		35	V	
	VDD = 15V, V _O = 1.5V or 13.5V	70		5.5	70		70	V	
V _{OL} Low Level Output Current	V _{IL} = 0V, V _{IH} = VDD	11.0		11.0	8.25		11.0	mA	
	V _{DD} = 5V, V _O = 0.4V	0.64		0.51	1.0		0.36	mA	
	V _{DD} = 10V, V _O = 0.9V	1.6		1.3	2.6		0.9	mA	
I _{OH} High Level Output Current	V _{IL} = 0V, V _{IH} = VDD	4.2		3.4	6.8		2.4	mA	
	V _{DD} = 5V, V _O = 4.6V	-0.25		-0.2	-0.4		-0.14	mA	
	V _{DD} = 10V, V _O = 9.5V	-0.67		-0.5	-1.0		-0.35	mA	
I _{IN} Input Current	V _{DD} = 15V, V _O = 13.5V	-1.8		-1.5	-3.0		-1.1	mA	
	V _{DD} = 15V, V _{IN} = 0V		-0.1		-10 ⁻⁵	-0.1		-1.0	μA
	V _{DD} = 15V, V _{IN} = 15V		0.1		10 ⁻⁵	0.1		1.0	pA

DC Electrical Characteristics CD4028BC (Note 2)

PARAMETER	CONDITIONS	-40°C		25°C		15°C		UNITS
		MIN	MAX	MIN	Typ	MAX	MIN	
I _{DD} Output Device Current	VDD = 5V	20		0.01	20		150	μA
	VDD = 10V	40		0.01	40		300	μA
	VDD = 15V	80		0.02	80		600	μA
V _{OL} Low Level Output Voltage	I _O < 1 μA, V _{IL} = 0V, V _{IH} = VDD							
	VDD = 5V	0.05		0	0.05		0.05	V
	VDD = 10V	0.05		0	0.05		0.05	V
V _{OH} High Level Output Voltage	VDD = 5V	4.95	4.95	5		4.95		V
	VDD = 10V	9.95	9.95	10		9.95		V
	VDD = 15V	14.95	14.95	15		14.95		V
V _{IL} Low Level Input Voltage	I _O < 1 μA							
	VDD = 5V, V _O = 0.5V or 4.5V	1.5		2.25	1.5		1.5	V
	VDD = 10V, V _O = 1V or 9V	3.0		4.5	3.0		3.0	V
V _{IH} High Level Input Voltage	VDD = 15V, V _O = 1.5V or 13.5V	4.0		6.75	4.0		4.0	V
	VDD = 15V, V _{IN} = 0V	-0.1		-10 ⁻⁵	-0.1		-1.0	μA
	VDD = 15V, V _{IN} = 15V	0.1		10 ⁻⁵	0.1		1.0	pA

Absolute Maximum Ratings (Note 1)

(Notes 1 and 2)

VDD Supply Voltage	-0.5 to +18V
VIN Input Voltage	-0.5 to VDD + 0.5V
T _J Storage Temperature Range	-65°C to +150°C
PD Package Dissipation	500 mW
T _L Lead Temperature (Soldering, 10 seconds)	300°C

Recommended Operating Conditions (Note 2)

(Note 2)

VDD Supply Voltage	+1.5V to 18V
VIN Input Voltage	0V to VDD + 0.5V
T _A Operating Temperature Range	-40°C to +125°C
CD4028BC	CD4028BC

DC Electrical Characteristics CD4028BC (Note 2)

PARAMETER	CONDITIONS	55°C		25°C		125°C		UNITS
		MIN	MAX	MIN	MAX	MIN	MAX	
IDD	Quiescent Device Current			0.01	5	0.05	150	μA
	VDD = 5V			0.01	10	0.05	300	μA
	VDD = 10V			0.01	20	0.05	600	μA
VOL	Low Level Output Current			0.05	0	0.05	0.05	V
	I _O < 1mA, V _{IL} = 0V, V _{IH} = VDD			0.05	0	0.05	0.05	V
	VDD = 5V	0.95	4.95	5	4.95	0.95	0.95	V
VOH	VDD = 5V	9.9%	9.9%	10	9.9%	9.9%	9.9%	V
	VDD = 10V	9.9%	9.9%	10	9.9%	9.9%	9.9%	V
	VDD = 15V	14.95	14.95	15	14.95	14.95	14.95	V
VIL	Low Level Input Voltage			1.5	2.25	1.5	1.5	V
	I _I < 1mA			1.5	2.25	1.5	1.5	V
	VDD = 5V, V _I = 0.5V or 4.5V	3.5	3.5	2.75	3.5	3.5	3.5	V
VIN	VDD = 10V, V _I = 1V or 9V	7.0	7.0	5.5	7.0	7.0	7.0	V
	VDD = 15V, V _I = 1.5V or 12.5V	11.0	11.0	8.25	11.0	11.0	11.0	V
	VDD < 1.5V			0.05	1.0	0.05	0.05	mA
VOL	V _{IL} = DV, V _{IN} = VDD	0.64	0.64	0.5	1.0	0.36	0.36	mA
	VDD = 5V, V _O = 0.4V	1.6	1.6	1.3	2.8	0.9	0.9	mA
	VDD = 10V, V _O = 0.5V	4.2	4.2	3.4	5.8	2.4	2.4	mA
VOL	V _{IL} = DV, V _{IN} = VDD	-0.75	-0.75	-0.2	-0.4	-0.14	-0.14	mA
	VDD = 5V, V _O = 4.6V	-0.62	-0.62	-0.5	-1.0	-0.35	-0.35	mA
	VDD = 10V, V _O = 9.9V	-1.8	-1.8	-1.5	-3.0	-1.1	-1.1	mA
VIN	V _{IL} = DV, V _{IN} = 0V	-0.1	-0.1	-10 ⁻⁵	-0.1	-10 ⁻⁵	-10 ⁻⁵	mA
	VDD = 15V, V _{IN} = 15V	0.1	0.1	10 ⁻⁵	0.1	10 ⁻⁵	10 ⁻⁵	mA

DC Electrical Characteristics CD4028BC (Note 2)

PARAMETER	CONDITIONS	-40°C		25°C		85°C		UNITS
		MIN	MAX	MIN	MAX	MIN	MAX	
IDD	Quiescent Device Current			20	0.01	20	150	μA
	VDD = 5V			40	0.01	40	300	μA
	VDD = 10V			80	0.02	80	600	μA
VOL	Low Level Output Voltage			0.05	0	0.05	0.05	V
	I _O < 1mA, V _{IL} = 0V, V _{IH} = VDD			0.05	0	0.05	0.05	V
	VDD = 5V	4.95	4.95	5	4.95	4.95	4.95	V
VOH	VDD = 10V	9.95	9.95	10	9.95	9.95	9.95	V
	VDD = 15V	14.95	14.95	15	14.95	14.95	14.95	V
	VDD < 1.5V			1.5	2.25	1.5	1.5	V
VIL	V _{IL} = DV, V _{IN} = 0V	3.5	3.5	2.75	3.5	3.5	3.5	V
	VDD = 5V, V _I = 1V or 9V	7.0	7.0	5.5	7.0	7.0	7.0	V
	VDD = 10V, V _I = 1.5V or 12.5V	11.0	11.0	8.25	11.0	11.0	11.0	V

pC Electrical Characteristics (Cont'd) CD4028BC (Note 2)

PARAMETER	CONDITIONS	40°C		25°C		85°C		UNITS
		MIN	MAX	MIN	TYP	MAX	MIN	
I_{IH} High Level Input Voltage	$I_O \sim I_{OL}$ $V_{DD} = 5V, V_O = 0.5V \text{ or } 4.5V$	3.5		3.5			3.5	V
	$V_{DD} = 10V, V_O = 1V \text{ or } 9V$	7.0		7.0			7.0	V
	$V_{DD} = 15V, V_O = 1.5V \text{ or } 13.5V$	11.0		11.0			11.0	V
I_{OL} Low Level Output Current	$V_{IH} = V_{DD}, V_{IL} = 0V$							
	$V_{DD} = 5V, V_O = 0.4V$	0.52		0.44	0.88		0.38	mA
	$V_{DD} = 10V, V_O = 0.5V$	1.3		1.1	2.2		0.9	mA
I_{OH} High Level Output Current	$V_{IH} = V_{DD}, V_{IL} = 0V$							
	$V_{DD} = 5V, V_O = 4.6V$	-0.2		-0.16	-0.32		-0.12	mA
	$V_{DD} = 10V, V_O = 9.5V$	-0.5		-0.4	-0.8		-0.3	mA
I_{IN} Input Current	$V_{DD} = 15V, V_{IN} = 13.5V$	-1.4		-1.2	-2.4		-1.0	mA
	$V_{DD} = 15V, V_{IN} = 0V$	-0.3		-0.3			-1.0	μA
	$V_{DD} = 15V, V_{IN} = 15V$	0.3		0.3			1.0	μA

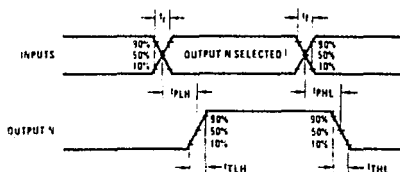
AC Electrical Characteristics $T_A = 25^\circ\text{C}$, $C_L = 50\text{ pF}$, $R_L = 200\text{k}$, Input $t_s = t_f = 20\text{ ns}$, unless otherwise specified

PARAMETER	CONDITIONS	MIN	TYP	MAX	UNITS
IPHL or IPH	Propagation Delay				
	$V_{CC} = 5V$	240	400	m	
	$V_{CC} = 10V$	100	200	m	
ITHL or ITL	Transition Time				
	$V_{CC} = 5V$	175	350	m	
	$V_{CC} = 10V$	75	150	m	
CIN	Input Capacitance				
	Any Input	5	7.5	pF	

Note 1: "Absolute Maximum Ratings" are those values beyond which the safety of the device cannot be guaranteed; they are not meant to imply that the device should be operated at these limits. The table of "Recommended Operating Conditions" and "Electrical Characteristics" provides conditions for actual device operation.

Note 2: $VSS = 0V$ unless otherwise specified.

Switching Time Waveforms



Absolute Maximum Ratings

V_{DD} DC Supply Voltage	-0.5 Vdc to +18 Vdc
V_{IN} Input Voltage	-0.5 Vdc to $V_{DD} + 0.5$ Vdc
T_S Storage Temperature Range	-65°C to +150°C
P_D Package Dissipation	500 mW
T_L Lead Temperature (soldering, 10 seconds)	300°C

Recommended Operating Conditions

V_{DD} DC Supply Voltage	+5 Vdc to +15 Vdc
V_{IN} Input Voltage	0 V to V_{DD} Vdc
T_A Operating Temperature Range	-55°C to +125°C
	4051BM/4052BM/4053BM 4051BC/4052BC/4053BC

DC Electrical Characteristics (Note 2)

Parameter	Conditions	Temperature				Units
		Min	Max	Typ	Max	
Quiescent Device Current	$V_{DD} = 5V$ $V_{DD} = 10V$ $V_{DD} = 15V$	5	10	8	15	μA
		20		20	800	μA
Input (V _{IS}) and Output (V _{OS})						
R _{ON} "ON" Resistance (Peak for $V_{EE} \leq V_{IS} \leq V_{DD}$)	$R_L = 10 \Omega$ (any channel selected)	V _{DD} = 2.5V, $V_{EE} = -2.5V$ or $V_{DD} = 5V$, $V_{EE} = 0V$	2000	270	2500	3500 Ω
		V _{DD} = 5V $V_{EE} = -5V$ or $V_{DD} = 10V$, $V_{EE} = 0V$	310	120	400	580 Ω
		V _{DD} = 7.5V, $V_{EE} = -7.5V$ or $V_{DD} = 15V$, $V_{EE} = 0V$	220	80	280	400 Ω
J _{ON} Δ"ON" Resistance Between Any Two Channels	$R_L = 10 \Omega$ (any channel selected)	V _{DD} = 2.5V, $V_{EE} = -2.5V$ or $V_{DD} = 5V$, $V_{EE} = 0V$		10		Ω
		V _{DD} = 5V, $V_{EE} = -5V$ or $V_{DD} = 10V$, $V_{EE} = 0V$		10		Ω
		V _{DD} = 7.5V, $V_{EE} = -7.5V$ or $V_{DD} = 15V$, $V_{EE} = 0V$		5		Ω
"OFF" Channel Leakage Current, any channel "OFF"	$V_{DD} = 7.5V$, $V_{EE} = -7.5V$ $I_{O1} = 17.5V$, $I_{IO} = 0V$	150		10.01	150	nA
"OFF" Channel Leakage Current, all channels "OFF" (Common OUT/IN)	Inhibit = 7.5V CD4051 $V_{DD} = 7.5V$, $V_{EE} = -7.5V$, $I_{O1} = 0V$, $I_{IO} = 17.5V$ CD4052 Inhibit = 12.5V CD4053	200		10.08	200	12000 nA
		200		10.04	200	12000 nA
		200		10.02	200	12000 nA
Control Inputs A, B, C and Inhibit						
I _L	Low Level Input Voltage	$V_{EE} = V_{SS}$, $R_L = 1k\Omega$ to V_{SS} $ I_{L} \leq 2.5A$ on all OFF channels $V_{SS} = V_{DD}$ thru $1k\Omega$ $V_{DD} = 5V$ $V_{DD} = 10V$ $V_{DD} = 15V$				
				1.5		1.5 V
				30		30 V
				40		40 V
I _H	High Level Input Voltage	$V_{DD} = 5$ $V_{DD} = 10$ $V_{DD} = 15$	3.5	3.5	3.5	V
			7	7	7	V
			11	11	11	V
I	Input Current	$V_{DD} = 15V$, $V_{EE} = 0V$ $V_{IN} = 0V$ $V_{DD} = 15V$, $V_{EE} = 0V$ $V_{IN} = 15V$	-0.1	+10 ⁻⁵	-0.1	+10 μA
			0.1	10 ⁻⁵	0.1	10 μA

Note 1: "Absolute Maximum Ratings" are those values beyond which the safety of the device cannot be guaranteed. Except for "Operating Temperature Range" they are not meant to imply that the device should be operated at these limits. The table of "Electrical Characteristics" provides conditions for actual device operation.

Note 2: All voltages measured with respect to V_{SS} unless otherwise specified.

DC Electrical Characteristics (Cont'd) (Note 2)

Parameter	Conditions	-40°C		+25°C		+85°C		Units	
		Min	Max	Min	Typ	Max	Min		
I _{DD}	Quiescent Device Current V _{DD} = 5V V _{DD} = 10V V _{DD} = 15V	20	40	20	40	150	300	mA	
		40	80	40	80	300	600	mA	
V _{DS} Inputs (V _{DS}) and Outputs (V _{DS})									
R _{ON}	"ON" Resistance (Peak) R _L = 10 kΩ for V _{EE} ≤ V _{DS} ≤ V _{DD} (selected)	V _{DD} = 2.5V, V _{EE} = -2.5V or V _{DD} = 5V, V _{EE} = 0V	2100	270	2500	3200	3200	Ω	
		V _{DD} = 5V, V _{EE} = -5V or V _{DD} = 10V, V _{EE} = 0V	330	120	400	520	520	Ω	
		V _{DD} = 7.5V, V _{EE} = -7.5V or V _{DD} = 15V, V _{EE} = 0V	230	80	280	360	360	Ω	
R _{ON}	C "ON" Resistance Between Any Two Channels	R _L = 10 kΩ (any channel selected)	V _{DD} = 2.5V, V _{EE} = -2.5V or V _{DD} = 5V, V _{EE} = 0V		10			Ω	
			V _{DD} = 5V, V _{EE} = -5V or V _{DD} = 10V, V _{EE} = 0V		10		Ω		
			V _{DD} = 7.5V, V _{EE} = -7.5V or V _{DD} = 15V, V _{EE} = 0V		5		Ω		
I _{OFF}	Channel Leakage Current, any channel OFF	V _{DD} = 7.5V, V _{EE} = -7.5V I _{OFF} = 17.5V, I _O = 0V	150	±0.01	150	1500	1500	nA	
	I _{OFF}	Channel Leakage Current, all channels OFF (Common DUT/NI)	I _{IN} = 7.5V, CD4051 V _{DD} = 7.5V, V _{EE} = -7.5V, CD4052 I _O = 0V I _{OFF} = 17.5V CD4053	±200	±0.08	±200	±2000	±2000	nA
				±200	±0.04	±200	±2000	±2000	nA
				±200	±0.02	±200	±2000	±2000	nA
Control Inputs A, B, C and Inhibit									
V _{IL}	Low Level Input Voltage	V _{EE} + V _{S5} , R _L = 1 kΩ to V _{SS} I _{S5} ≤ 2 μA on all OFF Channels V _{IS} = V _{DD} thru 1 kΩ							
		V _{DD} = 5V V _{DD} = 10V V _{DD} = 15V	1.5	3.0	1.5	3.0	4.0	V	
			3.0	4.0	3.0	4.0	4.0	V	
V _{IH}	High Level Input Voltage	V _{DD} = 5 V _{DD} = 10 V _{DD} = 15	3.5 7 11	3.5 7 11	3.5 7 11	3.5 7 11	3.5 7 11	V	
I _{IN}	Input Current	V _{DD} = 15V, V _{EE} = 0V V _{IN} = 0V V _{DD} = 15V, V _{EE} = 0V V _{IN} = 15V	-0.1	-10 ⁻⁵	-0.1	-1.0	1.0	pA	
			0.1	10 ⁻⁵	0.1	-1.0	1.0	pA	

Note 1: "Absolute Maximum Ratings" are those values beyond which the safety of the device cannot be guaranteed. Except for "Operating Temperature Range" they are not meant to imply that the devices should be operated at these levels. The table of "Electrical Characteristics" provides conditions for rated device operation.

Note 2: All voltages measured with respect to V_{SS} unless otherwise specified.

AC Electrical Characteristics

$T = 25^\circ\text{C}$, $t_s = t_r = 20$ ns, unless otherwise specified

Parameter	Conditions	V _{op}	Min	Typ	Max	Units
IPZH, IPZL	Propagation Delay Time from Inhibit to Signal Output (Channel turning on)	VEE = VSS = 0V $R_L = 1\text{k}\Omega$ $C_L = 50\text{ pF}$	5V 10V 15V	600 225 180	1200 450 320	ns ns ns
IPHZ, IPLZ	Propagation Delay Time from Inhibit to Signal Output (Channel turned off)	VEE = VSS = 0V $R_L = 1\text{k}\Omega$ $C_L = 50\text{ pF}$	5V 10V 15V	210 100 75	420 200 150	ns ns ns
GIN	Input Capacitance Control Input Signal Input (IN/OUT)			5 10	7.5 15	pF pF
EQUT	Output Capacitance (Common QUT/INI)					
	CD4051 CD4052 CD4053	VEE = VSS = 0V	10V 10V 10V	30 15 8		pF pF pF
GIDS	Feedthrough Capacitance				0.2	pF
GPO	Power Dissipation Capacitance				110	pF
	CD4051 CD4052 CD4053				70	pF pF
Signal Inputs (V _{IS}) and Output (V _{OIS})						
	1-Sine Wave Response (Distortion)	$R_L = 10\text{k}\Omega$ $f_S = 1\text{ kHz}$ $V_{IS} = 5\text{ Vp-p}$ $VEE = VSI = 0V$	10V		0.04	%
	Frequency Response, Channel "ON" (Sine Wave Input)	$R_L = 1\text{k}\Omega$, $VEE = VSS = 0V$, $V_{IS} = 5\text{ Vp-p}$ $20\log_{10} V_{OIS}/V_{IS} = -3\text{ dB}$	10V		40	MHz
	Feedthrough, Channel "OFF"	$R_L = 1\text{k}\Omega$, $VEE = VSS = 0V$, $V_{IS} = 5\text{ Vp-p}$ $20\log_{10} V_{OIS}/V_{IS} = -40\text{ dB}$	10V		10	MHz
	Disturb Between Any Two Channels (frequency at 40 dB)	$R_L = 1\text{k}\Omega$, $VEE = VSS = 0V$, $V_{IS(A)} = 5\text{ Vp-p}$ $20\log_{10} V_{OIS(B)}/V_{IS(A)} = -40\text{ dB}$ (Note 3)	10V		3	MHz
IPHL, IPLH	Propagation Delay Signal Input to Signal Output	VEE = VSS = 0V $C_L = 50\text{ pF}$	5V 10V 15V	25 15 10	55 35 25	ns ns ns
Control Inputs, A, B, C and Inhibit						
	Control Input to Signal Output	$VEE = VSS = 0V$, $R_L = 10\text{k}\Omega$ at both ends of channel Input Square Wave Amplitude = 10V	10V		65	mV (peak)
IPHL	Propagation Delay Time from Address to Signal Output (Channels "ON" or "OFF")	VEE = VSS = 0V $C_L = 50\text{ pF}$	5V 10V 15V	500 180 120	1000 360 240	ns ns ns

Note 2: A 5 volt reference current with a current of 10% unit is I_{REF} .

Absolute Maximum Ratings

(Note 1 and 2)

V _{DD} dc Supply Voltage	-0.5 to +18 VDC
V _{IIN} Input Voltage	-0.5 to V _{DD} +0.5 VDC
Storage Temperature Range	-65°C to +150°C
Package Dissipation	500 mW
T _L Lead Temperature (Soldering, 10 seconds)	300°C

Recommended Operating Conditions

(Note 2)

V _{DD} dc Supply Voltage	3 to 18 VDC
V _{IIN} Input Voltage	0 to V _{DD} +0.5 VDC
T _A Operating Temperature Range	-55°C to +125°C
CD4069M	-40°C to +85°C
CD4069C	

DC Electrical Characteristics

CD4069M (Note 2)

PARAMETER	CONDITIONS	-55°C		25°C		125°C		UNITS
		MIN	MAX	MIN	TYP	MAX	MIN	
I _Q Quiescent Device Current	V _{DD} = 5V	0.25		0.25			7.5	μA
	V _{DD} = 10V	0.5		0.5			15	μA
	V _{DD} = 15V	1.0		1.0			30	μA
I _{OL} Low Level Output Voltage	I _O < 1μA	0.05		0	0.05		0.05	V
	V _{DD} = 5V	0.05		0	0.05		0.05	V
	V _{DD} = 10V	0.05		0	0.05		0.05	V
I _{OH} High Level Output Voltage	V _{DD} = 15V	0.05		0	0.05		0.05	V
	I _O < 1μA	4.95		4.95	5		4.95	V
	V _{DD} = 5V	4.95		4.95	10		9.95	V
I _{IL} Low Level Input Voltage	V _{DD} = 10V	9.95		9.95	10		9.95	V
	V _{DD} = 15V	14.95		14.95	15		14.95	V
	I _I < 1μA	1.5			1.5		1.5	V
I _{IH} High Level Input Voltage	V _{DD} = 5V, V _I = 4.5V	3.0		3.0			3.0	V
	V _{DD} = 10V, V _I = 8V	4.0		4.0			4.0	V
	V _{DD} = 15V, V _I = 13.5V	7.0		7.0			7.0	V
I _{OL} Low Level Output Current	V _{DD} = 5V, V _O = 0.4V	3.5		3.5			3.5	mA
	V _{DD} = 10V, V _O = 1V	7.0		7.0			7.0	mA
	V _{DD} = 15V, V _O = 1.5V	11.0		11.0			11.0	mA
I _{OH} High Level Output Current	V _{DD} = 5V, V _O = 4.5V	0.64		0.51	0.68		0.38	mA
	V _{DD} = 10V, V _O = 9.5V	1.6		1.3	2.25		0.9	mA
	V _{DD} = 15V, V _O = 13.5V	4.2		3.4	5.8		2.4	mA
I _I Input Current	V _{DD} = 5V, V _I = 0V	0.64		0.51	0.68		0.38	mA
	V _{DD} = 15V, V _I = 15V	4.2		3.4	5.8		-2.4	mA
	V _{DD} = 5V, V _I = 0V	0.10		10 ⁻⁵	0.10		-10	μA
	V _{DD} = 15V, V _I = 15V	0.10		10 ⁻⁵	0.10		10	μA

DC Electrical Characteristics CD4089C (Note 2)

PARAMETER	CONDITIONS	-40°C		25°C		85°C		UNITS	
		MIN	MAX	MIN	TYP	MAX	MIN		
IDD Quiescent Device Current	VDD = 5V			1.0		1.0	7.5	mA	
	VDD = 10V			2.0		2.0	15	mA	
	VDD = 15V			4.0		4.0	30	mA	
VOL Low Level Output Voltage	10°C < TA < 50°C								
	VDD = 5V		0.05	0	0.05		0.05	V	
	VDD = 10V		0.05	0	0.05		0.05	V	
	VDD = 15V		0.05	0	0.05		0.05	V	
VOH High Level Output Voltage	10°C < TA < 50°C								
	VDD = 5V	4.95		4.95		4.95		V	
	VDD = 10V	9.95		9.95		9.95		V	
	VDD = 15V	14.95		14.95		14.95		V	
VIL Low Level Input Voltage	10°C < TA < 50°C								
	VDD = 5V, VO = 4.5V		1.5		1.5		1.5	V	
	VDD = 10V, VO = 9V		3.0		3.0		3.0	V	
	VDD = 15V, VO = 13.5V		4.0		4.0		4.0	V	
VIH High Level Input Voltage	10°C < TA < 50°C								
	VDD = 5V, VO = 0.5V	3.5		3.5		3.5		V	
	VDD = 10V, VO = 1V	7.0		7.0		7.0		V	
	VDD = 15V, VO = 1.5V	11.0		11.0		11.0		V	
IOL Low Level Output Current	VDD = 5V, VO = 0.4V	0.52		0.44	0.88		0.36	mA	
	VDD = 10V, VO = 0.5V	1.3		1.1	2.25		0.9	mA	
	VDD = 15V, VO = 1.5V	3.6		8.0	8.8		2.4	mA	
IOH High Level Output Current	VDD = 5V, VO = 4.8V	-0.52		-0.44	-0.88		-0.36	mA	
	VDD = 10V, VO = 9.5V	-1.3		-1.1	-2.25		-0.9	mA	
	VDD = 15V, VO = 13.5V	-3.6		-8.0	-8.8		-2.4	mA	
IN Input Current	VDD = 5V, VIN = 0V		-0.30		-10 ⁻⁵	-0.30		-1.0	mA
	VDD = 15V, VIN = 15V		0.30		10 ⁻⁵	0.30		1.0	mA

AC Electrical Characteristics TA = 25°C, CL = 50 pF, RL = 200 kΩ, t₁ and t₂ ≤ 20 ns, unless otherwise specified

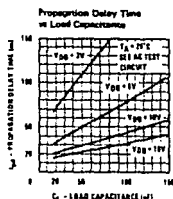
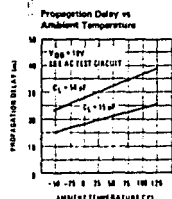
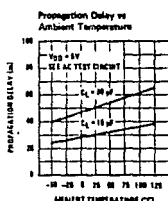
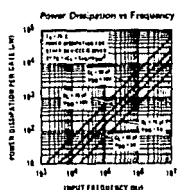
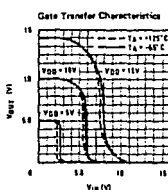
PARAMETER	CONDITIONS	MIN	TYP	MAX	UNITS
tPHL or tPLH Propagation Delay Time From Input To Output	VDD = 5V		50	90	ns
	VDD = 10V		30	60	ns
	VDD = 15V		25	50	ns
tTHL or tTLH Transition Time	VDD = 5V		80	150	ns
	VDD = 10V		50	100	ns
	VDD = 15V		40	80	ns
CIN Average Input Capacitance	Any Gate		8	7.5	pf
CPD Power Dissipation Capacitance	Any Gate (Note 3)		12		pf

Note 1: "Absolute Maximum Ratings" are those values beyond which the safety of the device cannot be guaranteed. They are not meant to imply conditions for actual device operation.

Note 2: V_{SS} = 0V unless otherwise specified.

Note 3: CPD determines the no load ac power consumption of any CMOS device. For complete explanation, see 54C74C Family Characteristics application note AN-90.

Typical Performance Characteristics



Absolute Maximum Ratings

(Notes 1 and 2)

VDD _{ST} Supply Voltage	5V ± 10%
V _H Input Voltage	0.5V to VDD + 0.5V
V _S Storage Temperature Range	-65°C to +150°C
I _{DSS} Package Dispersion	500 μA
T _L Lead Temperature (Solder = 10 seconds)	300°C

Recommended Operating Conditions

(Note 2)

VDD _{OP} Supply Voltage	5V ± 10%
V _H Input Voltage	5V ± 10%
T _A Operating Temperature Range	-40°C to +70°C
CD4510BM/CD4516BT	55°C to +70°C
CD4510BL/CD4516BU	-40°C to +70°C

DC Electrical Characteristics CD4510BM/CD4516BM (Note 2)

PARAMETER	CONDITIONS	55°C		25°C		125°C		UNITS
		MIN	MAX	MIN	TYP	MAX	MIN	
I _{DD}	Quiescent Device Current	VDD = 5V	5	1.25	1	1.5	2.5	μA
		VDD = 10V	10	0.1	0.1	0.2	0.5	μA
		VDD = 15V	20	0.15	0.2	0.3	0.5	μA
V _{OL}	Low Level Output Voltage	V _H = VDD, V _{IL} = 0V, I _O = 1 μA						
		VDD = 5V	0.05	0.1	0.05	0.1	0.05	V
		VDD = 10V	0.05	0	0.05	0	0.05	V
		VDD = 15V	0.05	0	0.05	0	0.05	V
V _{OH}	High Level Output Voltage	V _H = VDD, V _{IL} = 0V, I _O = 1 μA						
		VDD = 5V	4.95	4.95	5	4.95	5	V
		VDD = 10V	9.95	9.95	10	9.95	10	V
		VDD = 15V	14.95	14.95	15	14.95	15	V
V _{IL}	Low Level Input Voltage	I _D < 1 μA						
		VDD = 5V, V _I = 0.5V or 4.5V	1.5	2.25	1.5	1.5	1.5	V
		VDD = 10V, V _I = 1V or 9V	3.0	4.5	3.0	3.0	3.0	V
		VDD = 15V, V _I = 1.5V or 13.5V	4.0	6.75	4.0	4.0	4.0	V
V _{IN}	High Level Input Voltage	I _D < 1 μA						
		VDD = 5V, V _I = 0.5V or 4.5V	3.5	3.5	2.75	3.5	3.5	V
		VDD = 10V, V _I = 1V or 9V	7.0	7.0	5.5	7.0	7.0	V
		VDD = 15V, V _I = 1.5V or 13.5V	11.0	11.0	8.25	11.0	11.0	V
I _{OL}	Low Level Output Current	V _H = VDD, V _{IL} = 0V						
		VDD = 5V, V _O = 0.4V	0.64	0.51	0.6	0.5	0.5	mA
		VDD = 10V, V _O = 0.5V	1.6	1.3	2.0	0.9	0.9	mA
		VDD = 15V, V _O = 1.5V	4.2	3.4	3.8	2.4	2.4	mA
I _{OH}	High Level Output Current	V _H = VDD, V _{IL} = 0V						
		VDD = 5V, V _O = 4.5V	-0.64	-0.51	-0.6	-0.5	-0.5	mA
		VDD = 10V, V _O = 9.5V	-1.6	-1.3	-2.0	-0.9	-0.9	mA
		VDD = 15V, V _O = 13.5V	-4.2	-3.4	-3.8	-2.4	-2.4	mA
I _{IN}	Input Current	VDD = 15V, V _{IN} = 0V	-0.1	-10 ⁻⁵	-0.1	-10 ⁻⁵	-0.1	mA
		VDD = 15V, V _{IN} = 15V	0.1	10 ⁻⁵	0.1	10 ⁻⁵	0.1	mA

DC Electrical Characteristics CD4510BC/CD4516BC (Note 2)

PARAMETER	CONDITIONS	-40°C		25°C		85°C		UNITS
		MIN	MAX	MIN	TYP	MAX	MIN	
I _{DD}	Quiescent Device Current	VDD = 5V	20	1	0.05	20	150	μA
		VDD = 10V	40	0.1	0.1	40	300	μA
		VDD = 15V	80	0.15	0.2	0.2	600	μA
V _{OL}	Low Level Output Voltage	V _H = VDD, V _{IL} = 0V, I _O = 1 μA						
		VDD = 5V	0.05	0	0.05	0	0.05	V
		VDD = 10V	0.05	0	0.05	0	0.05	V
		VDD = 15V	0.05	0	0.05	0	0.05	V
V _{OH}	High Level Output Voltage	V _H = VDD, V _{IL} = 0V, I _O = 1 μA						
		VDD = 5V	4.95	4.95	5	4.95	5	V
		VDD = 10V	9.95	9.95	10	9.95	10	V
		VDD = 15V	14.95	14.95	15	14.95	15	V

C Electrical Characteristics (Cont'd) CD4510BC/CD4516BC (Note 2)

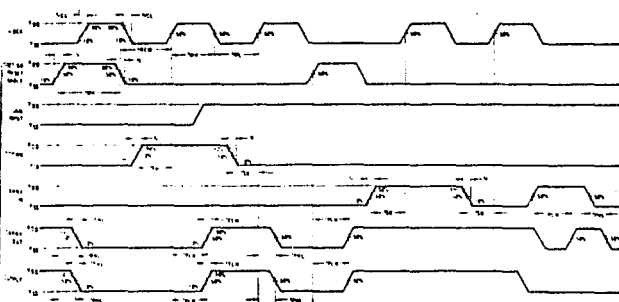
PARAMETER	CONDITIONS	-40°C		25°C		85°C		UNITS
		MIN	MAX	MIN	TYP	MAX	MIN	
VIL	Low Level Input Voltage	10 < V _I < A						
	VDD = 5V, V _O = 0.5V or 4.5V			1.5		2.25	1.5	1.5
	VDD = 10V, V _O = 1V or 8V			3.0		4.5	3.0	3.0
	VDD = 15V, V _O = 1.5V or 13.5V			4.0		8.75	4.0	4.0
VIH	High Level Input Voltage	10 < V _I < A						
	VDD = 5V, V _O = 0.5V or 4.5V	3.5		3.5	2.75		3.5	V
	VDD = 10V, V _O = 1V or 8V	7.0		7.0	5.5		7.0	V
	VDD = 15V, V _O = 1.5V or 13.5V	11.0		11.0	8.25		11.0	V
VOL	Low Level Output Current	V _{OH} = VDD, V _{IL} = 0V						
	VDD = 5V, V _O = 0.4V	0.52		0.44	0.8		0.36	mA
	VDD = 10V, V _O = 0.5V	1.3		1.1	2.0		0.9	mA
	VDD = 15V, V _O = 1.5V	3.6		3.0	7.8		2.4	mA
VOH	High Level Output Current	V _{OH} = VDD, V _{IL} = 0V						
	VDD = 5V, V _O = 0.8V	-0.52		-0.44	-0.8		-0.36	mA
	VDD = 10V, V _O = 0.5V	-1.3		-1.1	-2.0		-0.9	mA
	VDD = 15V, V _O = 13.5V	-3.6		-3.0	-7.8		-2.4	mA
VIN	Input Current	VDD = 15V, V _{IN} = 0V		-0.3		-10 ⁻⁵	-0.3	10
	VDD = 15V, V _{IN} = 15V			0.3		10 ⁻⁵	0.3	10

Note 3: "Absolute Maximum Ratings" are those values beyond which the safety of the device cannot be guaranteed; they are not meant to imply that the devices should be operated at these limits. The table of "Recommended Operating Conditions" and "Electrical Characteristics" provides guidelines for actual device operation.

卷之三

Ques 1. Please should not be connected to the power +12V.

Switching Time Waveforms



AC Electrical Characteristics CD45109M CD45109C, CD45169M CD45169C
 $T_A = 25^\circ\text{C}$, $C_L = 50\text{ pF}$, $R_L = 200\Omega$, $f_{CL} = 1\text{ MHz}$, $Z_{out} = 50\Omega$, unless otherwise specified

PARAMETER	CONDITIONS	MIN	TYP	MAX	UNITS
CLOCKED OPERATION					
I _{PHL} , I _{LH}	Propagation Delay Time Clock to Q Outputs	V _{DD} = 5V V _{DD} = 10V V _{DD} = 15V	220 100 60	500 250 100	ns ns ns
I _{PHL} , I _{LH}	Propagation Delay Time Clock to Carry Outputs	V _{DD} = 5V V _{DD} = 10V V _{DD} = 15V	315 175 100	630 250 200	ns ns ns
I _{THL} , I _{TLH}	Transition Time Q and Carry Outputs	V _{DD} = 5V V _{DD} = 10V V _{DD} = 15V	100 50 40	200 100 80	ns ns ns
I _{WL} , I _{WH}	Minimum Clock Pulse Width	V _{DD} = 5V V _{DD} = 10V V _{DD} = 15V	160 65 50	315 130 100	ns ns ns
I _{CL} , I _{CH}	Maximum Clock Rise and Fall Time	V _{DD} = 5V V _{DD} = 10V V _{DD} = 15V	15 15 15		ns ns ns
I _{SU}	Minimum Carry In Set-Up Time	V _{DD} = 5V V _{DD} = 10V V _{DD} = 15V		100 40 35	220 80 70
I _{SU}	Minimum Up/Down Set-Up Time	V _{DD} = 5V V _{DD} = 10V V _{DD} = 15V		200 70 60	420 170 150
I _{CL}	Maximum Clock Frequency	V _{DD} = 5V V _{DD} = 10V V _{DD} = 15V	1.5 3.8 5.0	3.1 7.6 10.0	MHz MHz MHz
C _{IN}	Input Capacitance	Any Input		5	7.5
C _{PD}	Power Dissipation Capacitance (Note 4)	Per Package		65	nf
RESET/PRESET ENABLE OPERATION					
I _{PHL} , I _{LH}	Propagation Delay Time Reset/Preset Enable to Q Output	V _{DD} = 5V V _{DD} = 10V V _{DD} = 15V		285 115 95	570 230 195
I _{PHL} , I _{LH}	Propagation Delay Time Reset/Preset Enable to Carry Output	V _{DD} = 5V V _{DD} = 10V V _{DD} = 15V		420 170 140	860 350 290
I _{WH}	Minimum Reset/Preset Enable Pulse Width	V _{DD} = 5V V _{DD} = 10V V _{DD} = 15V		90 40 35	200 100 80
I _{REM}	Minimum Reset/Preset Enable Removal Time	V _{DD} = 5V V _{DD} = 10V V _{DD} = 15V		170 70 60	330 140 120
CARRY INPUT OPERATION					
I _{PHL} , I _{LH}	Propagation Delay Time Carry In to Carry Output	V _{DD} = 5V V _{DD} = 10V V _{DD} = 15V		260 110 90	500 220 180

Note 4: Dynamic power dissipation (P_D) is given by: $P_D = IC_{PD} + C_L(V_{DD})^2f + P_0$, where C_L = load capacitance; f = frequency of operation; P_0 = Quiescent Power Dissipation. For further details, see application note AN 90, "54C74C Family characteristics."

4. SWITCHING DIODES/RECTIFIERS

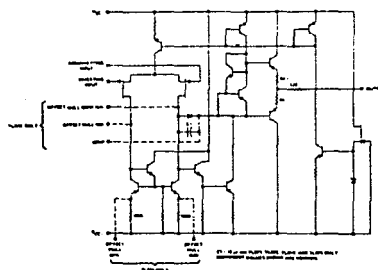
© 2009 by JOURNAL OF CLIMATE

SYMBOLS AND CODES EXPLAINED IN INTERPRETER

TIPOS TL070, TL070A, TL071, TL071A, TL071B
TL072, TL072A, TL072B, TL074, TL074A, TL074B, TL075

AMPLIFICADORES OPERACIONALES CON ENTRADA JFET, DE BAJO RUIDO

schematic (each amplifier)



absolute maximum ratings over operating free-air temperature range (unless otherwise noted)

	TL07_M	TL07_I	TL07_C TL07_AC TL07_BC	UNIT	
Supply voltage, V _{CC} + (See Notes 11)	1	18	18	18	V
Supply voltage, V _{CC} - (See Note 11)		-18	-18	-18	V
Differential input voltage (See Note 2)	130	130	130	130	V
Input voltage (See Notes 1 and 2)	115	115	115	115	V
Duration of di/dt short circuit (See Note 4)	Unlimited	Unlimited	Unlimited		
Continuous total dissipation at or below 25°C free-air temperature (See Note 5)	J, JG, N, or P Package L Package	680 675	680 675	680 675	mW
Operating free-air temperature range	-55 to 125	-75 to 85	0 to 70	0 to 70	°C
Storage temperature range	-85 to 150	-65 to 150	-65 to 150	-65 to 150	°C
Lead temperature 1/16 inch from case for 10 seconds	J, JG, or L Package	300	300	300	°C
Lead temperature 1/16 inch from case for 10 seconds	N or P PACKAGE	260	260	260	°C

- NOTES: 1. All voltage values, except differential voltage, are with respect to the base reference level (ground) of the supply voltages unless otherwise specified. 2. Differential voltage is the noninverting output minus the inverting output terminal. 3. The magnitude of the input voltage must never exceed the magnitude of the supply voltage of 15 volts, whichever is less. 4. The output may be shorted to ground or to either supply. Temperature and/or supply voltage must be limited to ensure that the dissipation rating is not exceeded. 5. For operation above 25°C free-air temperature, refer to Dissipation Derating Table.

DISSIPATION DERATING TABLE			
PACKAGE	POWER RATING	DERATING FACTOR	ABOVE T _A
J	680 mW	8.3 mW/°C	65°C
JG	680 mW	6.6 mW/°C	47°C
L	675 mW	5.0 mW/°C	25°C
N	680 mW	9.2 mW/°C	76°C
P	680 mW	8.0 mW/°C	65°C

DEVICE TYPES, SUFFIX VERSIONS, AND PACKAGES				
TL07_M	TL07_I	TL07_J	TL07_N	TL07_P
JGA	JGL	JGL	JJ	*
TL07_I	JGLP	JGLP	JGLP	JN
TL07_C	JGLP	JGLP	JGLP	JN
TL07_AC	JGLP	JGLP	JGLP	*
TL07_BC	*	JGLP	JGLP	JH

* These combinations are not defined by this data sheet.



TEXAS INSTRUMENTS

**TIPOS TL070, TL070A, TL071, TL071A, TL071B,
TL072, TL072A, TL072B, TL074, TL074A, TL074B, TL075**

AMPLIFICADORES OPERACIONALES CON ENTRADA JFET, DE BAJO RUIDO

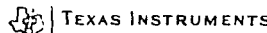
electrical characteristics, $V_{CC1} = \pm 15\text{ V}$

PARAMETER	TEST CONDITIONS ¹	TL07...M		TL07...I		TL07...C TL07...AC TL07...BC		UNIT
		MIN TYP MAX	MIN TYP MAX	MIN TYP MAX	MIN TYP MAX	MIN TYP MAX	MIN TYP MAX	
V_{IO} Input offset voltage	$R_S = 50\text{ }\Omega$, $T_A = 25^\circ\text{C}$	'70, '71, '72, '73, '74 '70A, '71A, '72A, '74A '71B, '72B, '74B	2 3 3	2 3 3	6 6 6	3 3 3	10 10 10	mV
	$R_S = 50\text{ }\Omega$, $T_A = \text{full range}$	'70, '71, '72, '73, '74 '74 '70A, '71A, '72A, '74A '71B, '72B, '74B	9 15	9 9	12 12	2 2	12 12	
	$R_S = 50\text{ }\Omega$, $T_A = 25^\circ\text{C}$	'70, '71, '72, '73, '74 '70A, '71A, '72A, '74A '71B, '72B, '74B	10	10	10	10	10	
	$R_S = 50\text{ }\Omega$, $T_A = \text{full range}$	'70, '71, '72, '73, '74 '74 '70A, '71A, '72A, '74A '71B, '72B, '74B	5 50	5 50	5 50	5 50	5 50	
	$T_A = 25^\circ\text{C}$	'70A, '71A, '72A, '74A '71B, '72B, '74B	5	5	5	5	5	
	$T_A = \text{full range}$	'70, '71, '72, '73, '74 '70A, '71A, '72A, '74A '71B, '72B, '74B	20	10	2	2	2	
V_{IO} Temperature coefficient of input offset voltage	$R_S = 50\text{ }\Omega$, $T_A = 25^\circ\text{C}$	'70, '71, '72, '73, '74, '75 '70A, '71A, '72A, '74A '71B, '72B, '74B	30 300	30 200	30 200	30 200	30 200	mV/°C
	$R_S = 50\text{ }\Omega$, $T_A = \text{full range}$	'70, '71, '72, '73, '74, '75 '70A, '71A, '72A, '74A '71B, '72B, '74B	50	20	20	20	20	
	$T_A = 25^\circ\text{C}$	'70A, '71A, '72A, '74A '71B, '72B, '74B	30	20	20	20	20	
	$T_A = \text{full range}$	'70, '71, '72, '73, '74, '75 '70A, '71A, '72A, '74A '71B, '72B, '74B	100	50	50	50	50	
	$T_A = 25^\circ\text{C}$	'70, '71, '72, '73, '74, '75 '70A, '71A, '72A, '74A '71B, '72B, '74B	112	112	112	112	112	
	$T_A = \text{full range}$	'70, '71, '72, '73, '74, '75 '70A, '71A, '72A, '74A '71B, '72B, '74B	112	112	112	112	112	
V_{IB} Input bias current ²	$T_A = 25^\circ\text{C}$	'70, '71, '72, '73, '74, '75 '70A, '71A, '72A, '74A '71B, '72B, '74B	24 24	24 24	24 24	24 24	24 24	A
	$T_A = \text{full range}$	'70, '71, '72, '73, '74, '75 '70A, '71A, '72A, '74A '71B, '72B, '74B	24	24	24	24	24	
	$T_A = 25^\circ\text{C}$	'70, '71, '72, '73, '74, '75 '70A, '71A, '72A, '74A '71B, '72B, '74B	24	24	24	24	24	
	$T_A = \text{full range}$	'70, '71, '72, '73, '74, '75 '70A, '71A, '72A, '74A '71B, '72B, '74B	24	24	24	24	24	
	$T_A = 25^\circ\text{C}$	'70, '71, '72, '73, '74, '75 '70A, '71A, '72A, '74A '71B, '72B, '74B	24	24	24	24	24	
	$T_A = \text{full range}$	'70, '71, '72, '73, '74, '75 '70A, '71A, '72A, '74A '71B, '72B, '74B	24	24	24	24	24	
V_{ICR} Common-mode input voltage range	$T_A = 25^\circ\text{C}$	'70, '71, '72, '73, '74, '75 '70A, '71A, '72A, '74A '71B, '72B, '74B	50 500	50 500	50 500	50 500	50 500	V
	$T_A = \text{full range}$	'70, '71, '72, '73, '74, '75 '70A, '71A, '72A, '74A '71B, '72B, '74B	50 500	50 500	50 500	50 500	50 500	
	$T_A = 25^\circ\text{C}$	'70, '71, '72, '73, '74, '75 '70A, '71A, '72A, '74A '71B, '72B, '74B	112	112	112	112	112	
	$T_A = \text{full range}$	'70, '71, '72, '73, '74, '75 '70A, '71A, '72A, '74A '71B, '72B, '74B	112	112	112	112	112	
	$T_A = 25^\circ\text{C}$	'70, '71, '72, '73, '74, '75 '70A, '71A, '72A, '74A '71B, '72B, '74B	112	112	112	112	112	
	$T_A = \text{full range}$	'70, '71, '72, '73, '74, '75 '70A, '71A, '72A, '74A '71B, '72B, '74B	112	112	112	112	112	
V_{OPP} Maximum peak-to-peak output voltage swing	$T_A = 25^\circ\text{C}$	'70, '71, '72, '73, '74, '75 '70A, '71A, '72A, '74A '71B, '72B, '74B	24 24	24 24	24 24	24 24	24 24	V
	$T_A = \text{full range}$	'70, '71, '72, '73, '74, '75 '70A, '71A, '72A, '74A '71B, '72B, '74B	24 24	24 24	24 24	24 24	24 24	
	$T_A = 25^\circ\text{C}$	'70, '71, '72, '73, '74, '75 '70A, '71A, '72A, '74A '71B, '72B, '74B	24 24	24 24	24 24	24 24	24 24	
	$T_A = \text{full range}$	'70, '71, '72, '73, '74, '75 '70A, '71A, '72A, '74A '71B, '72B, '74B	24 24	24 24	24 24	24 24	24 24	
	$T_A = 25^\circ\text{C}$	'70, '71, '72, '73, '74, '75 '70A, '71A, '72A, '74A '71B, '72B, '74B	24 24	24 24	24 24	24 24	24 24	
	$T_A = \text{full range}$	'70, '71, '72, '73, '74, '75 '70A, '71A, '72A, '74A '71B, '72B, '74B	24 24	24 24	24 24	24 24	24 24	
A_{VD} Large-signal differential voltage amplification	$R_L > 2\text{ M}\Omega$	'70, '71, '72, '73, '74, '75 '70A, '71A, '72A, '74A '71B, '72B, '74B	50 500	50 500	50 500	50 500	50 500	V/V
	$V_O = 10\text{ V}$	'70, '71, '72, '73, '74, '75 '70A, '71A, '72A, '74A '71B, '72B, '74B	50 500	50 500	50 500	50 500	50 500	
	$T_A = 25^\circ\text{C}$	'70, '71, '72, '73, '74, '75 '70A, '71A, '72A, '74A '71B, '72B, '74B	50 500	50 500	50 500	50 500	50 500	
	$T_A = \text{full range}$	'70, '71, '72, '73, '74, '75 '70A, '71A, '72A, '74A '71B, '72B, '74B	50 500	50 500	50 500	50 500	50 500	
	$T_A = 25^\circ\text{C}$	'70, '71, '72, '73, '74, '75 '70A, '71A, '72A, '74A '71B, '72B, '74B	50 500	50 500	50 500	50 500	50 500	
	$T_A = \text{full range}$	'70, '71, '72, '73, '74, '75 '70A, '71A, '72A, '74A '71B, '72B, '74B	50 500	50 500	50 500	50 500	50 500	
I_{BI} Unity-gain bandwidth	$T_A = 25^\circ\text{C}$	'70, '71, '72, '73, '74, '75 '70A, '71A, '72A, '74A '71B, '72B, '74B	2	3	3	3	3	MHz
	$T_A = 25^\circ\text{C}$	'70, '71, '72, '73, '74, '75 '70A, '71A, '72A, '74A '71B, '72B, '74B	10 ²	10 ²	10 ²	10 ²	10 ²	
	$T_A = \text{full range}$	'70, '71, '72, '73, '74, '75 '70A, '71A, '72A, '74A '71B, '72B, '74B	2	3	3	3	3	
	$T_A = 25^\circ\text{C}$	'70, '71, '72, '73, '74, '75 '70A, '71A, '72A, '74A '71B, '72B, '74B	2	3	3	3	3	
	$T_A = \text{full range}$	'70, '71, '72, '73, '74, '75 '70A, '71A, '72A, '74A '71B, '72B, '74B	2	3	3	3	3	
	$T_A = 25^\circ\text{C}$	'70, '71, '72, '73, '74, '75 '70A, '71A, '72A, '74A '71B, '72B, '74B	2	3	3	3	3	
$CMRR$ Common-mode rejection ratio	$R_S = 10\text{ k}\Omega$	'70, '71, '72, '73, '74, '75 '70A, '71A, '72A, '74A '71B, '72B, '74B	80 80	80 80	80 80	80 80	80 80	dB
	$T_A = 25^\circ\text{C}$	'70, '71, '72, '73, '74, '75 '70A, '71A, '72A, '74A '71B, '72B, '74B	80 80	80 80	80 80	80 80	80 80	
	$T_A = \text{full range}$	'70, '71, '72, '73, '74, '75 '70A, '71A, '72A, '74A '71B, '72B, '74B	80 80	80 80	80 80	80 80	80 80	
	$T_A = 25^\circ\text{C}$	'70, '71, '72, '73, '74, '75 '70A, '71A, '72A, '74A '71B, '72B, '74B	80 80	80 80	80 80	80 80	80 80	
	$T_A = \text{full range}$	'70, '71, '72, '73, '74, '75 '70A, '71A, '72A, '74A '71B, '72B, '74B	80 80	80 80	80 80	80 80	80 80	
	$T_A = 25^\circ\text{C}$	'70, '71, '72, '73, '74, '75 '70A, '71A, '72A, '74A '71B, '72B, '74B	80 80	80 80	80 80	80 80	80 80	
$ISVR$ Supply voltage rejection ratio (A $V_{CC1}/\Delta V_{DD}$)	No load, no signal							dB
	$T_A = 25^\circ\text{C}$		14	25	14	25	14	
	$T_A = 25^\circ\text{C}$		100	100	100	100	100	
	$T_A = \text{full range}$		100	100	100	100	100	
	$T_A = 25^\circ\text{C}$		100	100	100	100	100	
	$T_A = \text{full range}$		100	100	100	100	100	
IC Input current	No load, no signal							mA
	$T_A = 25^\circ\text{C}$		14	25	14	25	14	
	$T_A = 25^\circ\text{C}$		100	100	100	100	100	
	$T_A = \text{full range}$		100	100	100	100	100	
	$T_A = 25^\circ\text{C}$		100	100	100	100	100	
	$T_A = \text{full range}$		100	100	100	100	100	
V_{G1}/V_{G2} Output current	AVD = 100	$T_A = 25^\circ\text{C}$	100	100	100	100	100	dB
	AVD = 100	$T_A = 25^\circ\text{C}$	100	100	100	100	100	
	AVD = 100	$T_A = 25^\circ\text{C}$	100	100	100	100	100	
	AVD = 100	$T_A = 25^\circ\text{C}$	100	100	100	100	100	
	AVD = 100	$T_A = 25^\circ\text{C}$	100	100	100	100	100	
	AVD = 100	$T_A = 25^\circ\text{C}$	100	100	100	100	100	

Analog characteristics are measured under standard conditions unless otherwise noted. Full range for $T_A = -55$ to 125°C or $T_A = 25^\circ\text{C}$.

¹ At $T_A = 25^\circ\text{C}$ and $\Delta T = 25^\circ\text{C}$ for TL070, TL071, TL071A, TL072, TL072A, TL074, TL074A, TL075, and TL075A. Not defined for $T_A = 125^\circ\text{C}$.

² Input bias currents of a FET input operational amplifier are normal junction reverse currents, which are temperature sensitive as shown in Figure 18. Pulse techniques must be used that will maintain the junction temperatures as close to the ambient temperature as is possible.



ESTA TESIS NO DEBE
SALIR DE LA BIBLIOTECA

TIPOS TL070, TL070A, TL071, TL071A, TL071B
TL072, TL072A, TL072B, TL074, TL074A, TL074B, TL075

AMPLIFICADORES OPERACIONALES CON ENTRADA JFET, DE BAJO RUIDO

TYPICAL CHARACTERISTICS¹

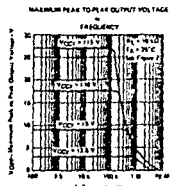


FIGURE 6

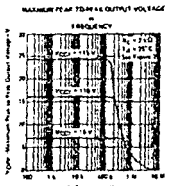


FIGURE 7

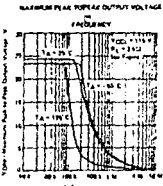


FIGURE 8

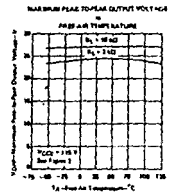


FIGURE 9

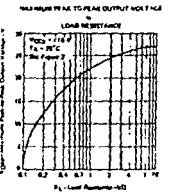


FIGURE 10

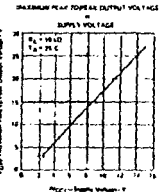


FIGURE 11

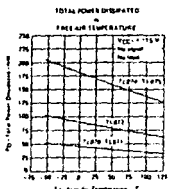


FIGURE 12

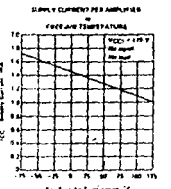


FIGURE 13

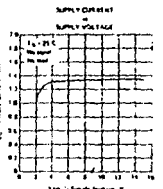


FIGURE 14

¹Data at high and low temperatures are available only within the rated operating free-air temperature range of the various device. A 10°C compensation factor is used in TL072 (-47 to 105°C).



LM108A/LM208A Absolute Maximum Ratings

Supply Voltage	+20V
Power Dissipation (Note 1)	500 mW
Differential Input Current (Note 2)	±10 mA
Input Voltage (Note 3)	±15V
Output Short Circuit Duration	Indefinite
Operating Temperature Range LM108A	-55°C to 125°C
LM208A	-25°C to 85°C
Storage Temperature Range	-65°C to 150°C
Lead Temperature (soldering, 10 sec.)	300°C

Electrical Characteristics (Note 4)

PARAMETER	CONDITIONS	MIN	TYP	MAX	UNITS
Input Offset Voltage	$T_A = 25^\circ\text{C}$		0.3	0.5	mV
Input Offset Current	$T_A = 25^\circ\text{C}$		0.05	0.2	nA
Input Bias Current	$T_A = 25^\circ\text{C}$		0.8	2.0	nA
Input Resistance	$T_A = 25^\circ\text{C}$	30	70		MΩ
Supply Current	$T_A = 25^\circ\text{C}$		3	6	mA
Large Signal Voltage Gain	$T_A = 25^\circ\text{C}, V_S = \pm 15V$ $V_{OUT} = \pm 10V, R_L > 10 k\Omega$	ED	300		Vi/mV
Input Offset Voltage				1.0	mV
Average Temperature Coefficient of Input Offset Voltage			1.0	5.0	µV/°C
Input Offset Current				0.4	nA
Average Temperature Coefficient of Input Offset Current			0.5	2.5	pA/°C
Input Bias Current				3.0	nA
Supply Current	$T_A = +125^\circ\text{C}$		0.15	0.4	mA
Large Signal Voltage Gain	$V_S = \pm 15V, V_{OUT} = \pm 10V$ $R_L > 10 k\Omega$	40			Vi/mV
Output Voltage Swing	$V_S = \pm 15V, R_L = 10 k\Omega$	±13	±14		V
Input Voltage Range	$V_S = \pm 15V$	±13.5			V
Common Mode Rejection Ratio		96	110		dB
Supply Voltage Rejection Ratio		96	110		dB

Note 1: The maximum junction temperature of the LM108A is 150°C, while that of the LM208A is 160°C. For operating at elevated temperatures, devices in the TO-5 package must be derated based on a thermal resistance of 150°C/W, junction to ambient, or 65°C/W, junction to case. The thermal resistance of the dual-in-line package is 100°C/W, junction to ambient.

Note 2: The inputs are clamped with back-to-back diodes for overvoltage protection. Therefore, excessive current will flow if a differential input voltage in excess of 1V is applied between the inputs unless some limiting resistance is used.

Note 3: For supply voltages less than 215V, the absolute maximum input voltage is equal to the supply voltage.

Note 4: These specifications apply for $25V \leq V_S \leq 20V$ and $-55^\circ\text{C} \leq T_A \leq 125^\circ\text{C}$, unless otherwise specified. With the LM208A, however, all temperature specifications are limited to $-25^\circ\text{C} \leq T_A \leq 85^\circ\text{C}$.

LM308A, LM308A-1, LM308A-2

Absolute Maximum Ratings

Supply Voltage	$\pm 18V$
Differential Input Current (Note 1)	500 mW
Differential Input Current (Note 2)	± 10 mA
Input Voltage (Note 3)	$\pm 15V$
Short Circuit Duration	Indefinite
Storage Temperature Range	0°C to 70°C
Operating Temperature Range	-65°C to 150°C
Temperature (Soldering, 10 sec)	300°C

Electrical Characteristics (Note 4)

PARAMETER	CONDITIONS	MIN	TYP	MAX	UNITS
Input Offset Voltage	$T_A = 25^\circ C$		0.3	0.5	mV
Input Offset Current	$T_A = 25^\circ C$		0.2	1	nA
Input Bias Current	$T_A = 25^\circ C$		1.5	7	nA
Input Resistance	$T_A = 25^\circ C$	10	40		MΩ
Supply Current	$T_A = 25^\circ C, V_S = \pm 15V$		0.3	0.8	mA
Signal Voltage Gain	$T_A = 25^\circ C, V_S = \pm 15V, V_{OUT} = \pm 10V, R_L \geq 10 k\Omega$	80	300		V/mV
Input Offset Voltage	$V_S = \pm 15V, R_S = 100\Omega$				mV
LM308A				0.73	mV
LM308A-1				0.54	mV
LM308A-2				0.59	mV
Average Temperature Coefficient of Input Offset Voltage	$V_S = \pm 15V, R_S = 100\Omega$				μV/°C
LM308A			2.0	5.0	μV/°C
LM308A-1			0.6	1.0	μV/°C
LM308A-2			1.3	2.0	μV/°C
Input Offset Current				1.5	nA
Average Temperature Coefficient of Input Offset Currents			2.0	10	pA/°C
Input Bias Current				10	nA
Signal Voltage Gain	$V_S = \pm 15V, V_{OUT} = \pm 10V, R_L \geq 10 k\Omega$	60			V/mV
Output Voltage Swing	$V_S = \pm 15V, R_L = 10 k\Omega$	± 13	± 14		V
Input Voltage Range	$V_S = \pm 15V$	± 14			V
Common-Mode Rejection Ratio		96	110		dB
Supply Voltage Rejection Ratio		95	110		dB

Note 1: The maximum junction temperatures of the LM308A, LM308A-1 and LM308A-2 is 85°C. For operation at elevated temperatures, devices in the plastic package must be derated based on a thermal resistance of 150°C/W, junction to ambient, or 45°C/W, junction to case. The thermal resistance of the dual-in-line package is 100°C/W, junction to ambient.

Note 2: The inputs are shunted with back-to-back diodes for overvoltage protection. Therefore, excessive current will flow if a differential input voltage of 15V is applied between the inputs unless some limiting resistance is used.

Note 3: For supply voltages less than $\pm 15V$, the absolute maximum input voltage is equal to the supply voltage.

Note 4: All specifications apply for $\pm 15V \leq V_S \leq 15V$ and $0^\circ C \leq T_A \leq 70^\circ C$ unless otherwise specified.

Absolute Maximum Ratings

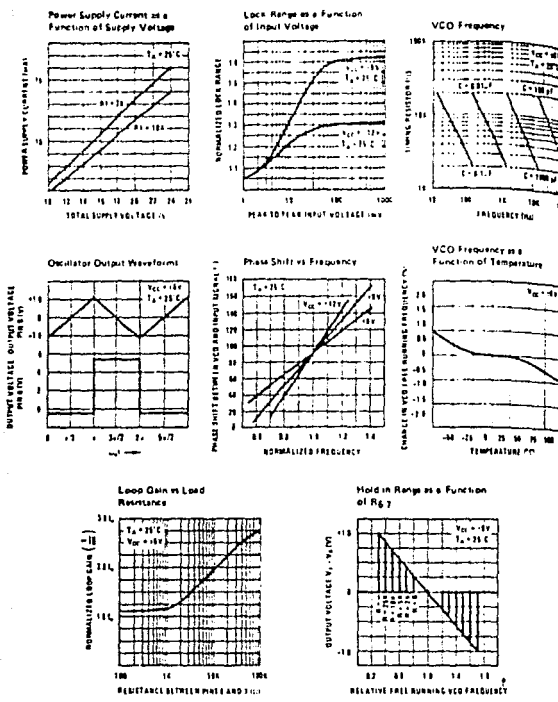
Supply Voltage	$\pm 12V$
Power Dissipation (Note 1)	300 mW
Differential Input Voltage	$\pm 1V$
Operating Temperature Range LM565H	-55°C to +125°C
LM565CH, LM565CN	0°C to 70°C
Storage Temperature Range	-65°C to +150°C
Lead Temperature (Soldering, 10 sec)	300°C

Electrical Characteristics (AC Test Circuit, $T_A = 25^\circ C$, $V_C = \pm 6V$)

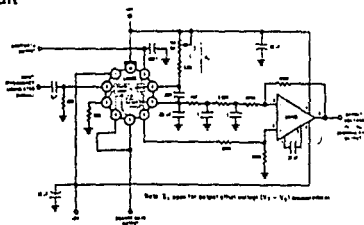
PARAMETER T_A	CONDITIONS	LM565			LM565C			UNITS
		MIN	TYP	MAX	MIN	TYP	MAX	
Power Supply Current			8.0	12.5		8.0	12.5	mA
Input Impedance (Pins 2, 3)	$-4V < V_2, V_3 < 0V$	7	10			5		$k\Omega$
VCO Maximum Operating Frequency	$C_0 = 2.7 \text{ pF}$	300	500		250	500		Hz
Operating Frequency			-100	300		-200	500	ppm°C
Temperature Coefficient			0.01	0.1		0.05	0.2	%/V
Frequency Drift with Supply Voltage			0.2	0.75		0.5	1	%
Single Wave Output Voltage		2	2.4	3	2	2.4	3	V_{DD}
Single Wave Output Linearity			0.2	0.75		0.5	1	%
Single Wave Output Level		4.7	5.4		4.7	5.4		V_{DD}
Output Impedance (Pin 4)			5			5		$k\Omega$
Single Wave Duty Cycle		45	50	55	40	50	60	%
Single Wave Rise Time			20	100		20		ns
Single Wave Fall Time			50	200		50		ns
Output Current Sink (Pin 4)		0.8	1		0.8	1		mA
VCO Sensitivity	$f_0 = 10 \text{ kHz}$	6400	6600	6800	6000	6600	7200	Hz/V
Demodulated Output Voltage (Pin 2)	$\pm 10\%$ Frequency Deviation	250	300	350	200	300	400	mV_{DD}
Total Harmonic Distortion	$\pm 10\%$ Frequency Deviation		0.2	0.75		0.2	1.5	%
Output Impedance (Pin 2)			3.5			3.5		$k\Omega$
DC Level (Pin 3)		4.25	4.5	4.75	4.0	4.5	5.0	V
Output Offset Voltage ($V_2 - V_3$)			30	100		50	200	mV
Temperature Drift of $V_2 - V_3$			500			500		$\mu\text{V}/^\circ\text{C}$
All Rejection		30	40			40		dB
Photo Diode Sensitivity Kg		0.6	0.8	0.9	0.55	0.8	0.95	V radian

Note 1: The maximum junction temperature of the LM565 is 150°C , while that of the LM565C and LM565CN is 100°C . For operation at elevated temperatures devices in the TO-5 package must be derated based on a thermal resistance of 150°C/W junction to ambient or 45°C/W junction to case. Thermal resistance of the dual-line package is 100°C/W .

Typical Performance Characteristics



AC Test Circuit



Absolute Maximum Ratings

Power Supply Voltage	26V
Power Dissipation (Note 1)	300 mW
Operating Temperature Range	-55°C to +125°C 0°C to 70°C
Lead Temperature (Soldering 10 sec)	300°C

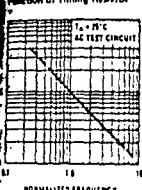
Electrical Characteristics $V_{CC} = 12V$, $T_A = 25^\circ C$, AC Test Circuit

PARAMETER	CONDITIONS	LM566			LM566C			UNITS
		MIN	TYP	MAX	MIN	TYP	MAX	
Maximum Operating Frequency	1-25 $C0 = 2.7\text{ pF}$		1		1		1	MHz
Input Voltage Range Pin 5		3/4 V_{CC}	V_{CC}	3/4 V_{CC}	200	V_{CC}		
Average Temperature Coefficient of Operating Frequency			100			200		$\text{ppm}/^\circ\text{C}$
Supply Voltage Rejection	10-20V		0.1	1	0.1	2		V
Input Impedance Pin 5		0.5	1		0.5	1		MΩ
VCO Sensitivity	For Pin 5, From 8-10V, $I_D = 10\text{ kHz}$	64	66	68	60	66	72	kHz/V
FM Distortion	$\pm 10\%$ Deviation		0.2	0.75	0.2	1.5		%
Maximum Sweep Rate		800	1		600	1		Hz
Sweep Range			10:1			10:1		
Output Impedance								Ω
Pin 3			50			50		
Pin 4			50			50		
Square Wave Output Level	$R_{L1} = 10\text{k}$	5.0	5.4		5.0	5.4		Vpp
Triangle Wave Output Level	$R_{L2} = 10\text{k}$	2.0	2.4		2.0	2.4		Vpp
Square Wave Duty Cycle		45	50	55	40	50	60	%
Square Wave Rise Time			20			20		ns
Square Wave Fall Time			50			50		ns
Triangle Wave Linearity	±1V Segment at 1/2 V_{CC}	0.2	0.75		0.5	1		

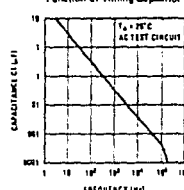
Note 1: The maximum junction temperature of the LM566 is 150°C, while that of the LM566C is 100°C. For operating at elevated junction temperatures, devices in the TO-5 package must be derated based on a thermal resistance of 150°C/W. The thermal resistance of the dual-in-line package is 100°C/W.

Technical Performance Characteristics

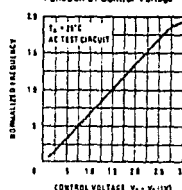
Operating Frequency vs.
Function of Timing Resistor



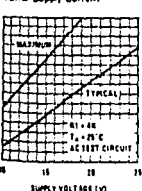
Operating Frequency vs.
Function of Timing Capacitor



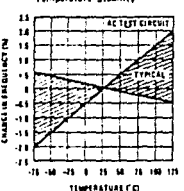
Normalized Frequency vs.
Function of Control Voltage



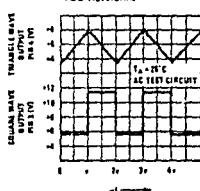
Power Supply Current



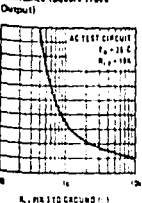
Temperature Stability



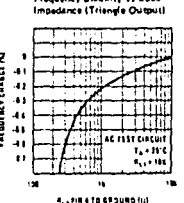
VCO Waveform



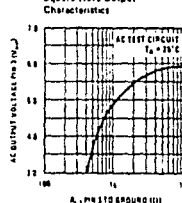
Frequency Stability vs. Load
Resistance (Square Wave Output)



Frequency Stability vs. Load
Impedance (Triangle Output)



Square Wave Output
Characteristics

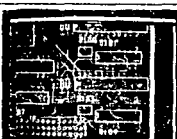




SCHEMATIC CAPTURE TO PCB LAYOUT
\$495.00

Before buying EE Designer, Evaluate PCAD or separate Schematic & PCB editors. Check our on-line CAD Test Section. Schematic PCB Editor has full compatibility with AutoCAD® package. Package includes logic, analog, mixed resolution, mixed mode, mixed GND planes, and hierarchical design. Price \$1995.00 for 16.25" x 24" monitor. Price \$2995.00 for 22.25" x 24" monitor. INTERACTIVE CAD SYSTEMS, 2352 Rambo Ct., San Jose CA 95131. (408) 961-0152

CIRCLE 244



NEW FULLY INTEGRATED CAD/CAM

Douglas CAD/CAM Professional System was created for the professional circuit board designer. It provides a complete system for the capture and layout of PCBs. It also runs on the Apple Macintosh. It includes color and monochrome monitors, a color plotter, and a 12" x 18" dot matrix printer. Layout \$1500. Schematic \$1500. AutoCAD® \$1000. Douglas CAD/CAM Professional, 7 Elmwood, CA 94557. (415) 423-1777

DOUGLAS ELECTRONICS CIRCLE 202



**COMPUTER PRODUCTS "EA" SERIES
1.8 WATT DC/DC CONVERTER**

* Industry Standard 1 x 2" x 3" Package * 5V Input * x 12 @ 60 mA or x 15 @ 80 mA Output * Regulated * Isolated * Short Circuit Protection * Reverse Polarity Protection * On Board Point of Use Regulation * Available from Stock * For More Information, 817/265-1170, STEPHENS ANDERSON DIVISION, 7 Elm Street, Boston, MA 02127

COMPUTER PRODUCTS CIRCLE 234



CROSS ASSEMBLIES
Universal Crosses, Inc.

PC/MVS DOS, VAX VMS, UNIX

Fast Version 2.2
 • Crosses Assembly
 • New or Assembled Line Output
 • New expanded Manual
 • Powerful Macros
 • Complete Source Code
 ENERTEC INC., 19 Jefferson Ave.
 Lansdale, PA 19446
 (215) 562-0996
 MCV
 CIRCLE 208



BUGS IN YOUR CIRCUIT?

Washing time wrapping, unwrapping, cutting, fracturing, bending, crimping, test points, etc. isolate any pin of a DIP IC. Use test points for rewiring. Use a 10" emulator probe to turn off power to a component. Price \$12.50. Shipping \$4.00. Prices from \$2.75. Beta Automation Inc., 2641 Old Conejo Rd., Newbury Park, CA 91320. (805) 499-5785

BETA AUTOMATION

CIRCLE 253



**COMPUTER PRODUCT "ES" SERIES
15 WATT TRIPLE OUTPUT DC/DC CONVERTER**

* 1.5 x 1.5 x 1.5" 15W to 3.6W to 7.2W DC/DC Triple Output * Commercial 1 x 12.5" x 3" and 1/2 x 12.5" x 5" * Efficiency to 80% * Ideal for Battery Applications Requiring Low Noise Analog Outputs * Reverse Polarity Protection * On Board Protection * Available from Stock * For More Information, 817/265-1170, Computer Products, Stephens Anderson Division, 7 Elm Street, Boston, MA 02127

COMPUTER PRODUCTS CIRCLE 232

Product Showcase Order Form

The best value for your advertising dollars. For a 1/16 page ad, here's all you have to do:

- 1) Send a 35mm color transparency of your product. (Black and white glossy photos are also accepted.)
- 2) Include 10 lines of typed copy, no more than 43 characters in a line. (Include company name, address, phone number, and fax number if applicable.)
- 3) Write a headline, 32 characters or less.
- 4) We do all the rest. No production charges.
- 5) We also accept camera-ready art. Ad size: 2 1/4" wide x 2 1/4" deep.

1x	\$750	7x	\$715	16x	\$600
3x	\$735	12x	\$645	25x	\$570

Send this form with materials to: Carol Helton, Electronics magazine, Product Showcase Advertising Manager, 1221 Avenue of the Americas, 42nd Floor, New York, NY 10020. (212) 512-2143

Electronics November 12, 1987

Name	
Title	
Company	
Address	
City	
State	
Zip	
Phone	

Electronics